

RELACION TEKNIK

OBJEKTI:

RIKONSTRUKSION I RRUGËS DUKAJ - SINANAJ

RELACIONI TEKNIK

7.1. PERSHKRIM I PERGJITHSHEM

Segmenti rrugor qe propozohet fillon ne Km 0+000 ne hyrje te fshatit Salari dhe perfundon ne Km 14+549 ne qendrën e fshatit Sinanaj përgjatë rruges nationale.



Horografia

Ky variant ndjek trupin e rruges ekzistuese dhe eshte vazhdim i segmentit rrugor Dukaj – Salari (pjesa e rruges nationale L= 2.8 km). Parametrat gjeometrik te këtij segmenti do te jene te njete me pjesën e përfunduar te rruges nationale.

Ky segment rrugor lidh Bashkine Tepelene me Bashkine Vlore dhe eshte nje rruge kyçë dhe me lëvizje te konsiderueshme mjetesh.



Sekzioni terthor tip i parashikuar ne kete zone eshte C'2 me gjeresi te gjurmese kaluese 4.5m dhe me bankina 2x0.5m.

Çdo 250m jane parashikuar vendrime per automjetet me gjeresi 2m dhe gjatesi 40m.



7.1.1 SEGMENTI RRUGOR

Segmenti rrugor i cili fillon ne hyrje te fshatit Salari dhe perfudon ne qendren e fshatit Sinanaj eshte trajtuar me hje gjeresi te gjurmese kaluese 4.5m dhe me bankine 2x0.5m.

Jane vendosur vendrrimet per automjetet cdo 250m me gjeresi 2m dhe gjatesi 40m.

Ruga eshte parashikuar me pjerresi terthore te njeanshme prej $i=2.5\%$ ne rruge te drejte dhe $i_{max}=6\%$ ne kthesa.

Grumbullimi dhe i disiplinimi i ujrave eshte realizuar me ane te kanaleve kullues dheu ne krah te skarpates dhe shkarkimi neper puseta me tombino.

Pergjate gjithe segmentit rrugor ne studim jane perdorur profile te ndryshme rruges sipas rrethanave te saj. Per kete arsye e gjithe rruga trajtohet e perbere nga disa segmente rrugore me karakteristika te ndryshme.

7.2. Llogaritja e Shtresave Rrugore

A. Metodologjia e perdorur

I. Faktoret e dimensionimit.

I.1 Tipologjia e rruget ekzistuese.

Bazuar ne Kushtet Teknike te Projektimit te Rrugeve Automobilistike KTP No.22-2002, rruget klasifikoheshin ne 5 tipe te ndryshem te individualizuara sipas tabeles se me poshtme:

Tab.1 Klasifikimi i rrugave sipas standartit shqiptar KTP No.22-2002

| Nr. | Tipi i Rruges | Simboli |
|-----|---------------|----------|
| 1 | Autostrada | A1,A2,A3 |
| 2 | I | B1, B'1 |
| 3 | II | B2 |
| 4 | III | C1 |
| 5 | IV | C2, C'2 |
| 6 | V | C3 |

I.2 Trafiku

Per kompozimin e parashikimit te trafikut per cdo tip rruge, vleresohen aspektet karakteristike te mjeteve komerciale si ne tabelen e meposhteme:

Tab.2 Tipet e mjeteve komerciale, numri i akseve, shperndaria e ngarkeses per aks.

| Tipi i mjetit | Nr. Akse | Shperndaria e ngarkeses ne aks ne KN | | | | | | | | |
|------------------------------------|----------|--------------------------------------|-----|-----|-----|-----|-----|-----|-----|-----|
| 1) Mjete te lehta | 2 | 10 | | | 20 | | | | | |
| 2) Mjete te lehta | 2 | 15 | | | 30 | | | | | |
| 3) Mjete te mesme dhe te renda | 2 | 40 | | | 80 | | | | | |
| 4) Mjete te mesme dhe te renda | 2 | 50 | | | 110 | | | | | |
| 5) Mjete te renda | 3 | 40 | | | 80 | 80 | | | | |
| 6) Mjete te renda | 3 | 60 | | | 100 | 100 | | | | |
| 7) Trajlera e mjete te artikuluar | 4 | 40 | | | 90 | | 80 | | | 80 |
| 8) Trajlera e mjete te artikuluar | 4 | 60 | | | 100 | | 100 | | | 100 |
| 9) Trajlera e mjete te artikuluar | 5 | 40 | 80 | 80 | | | | | 80 | 80 |
| 10) Trajlera e mjete te artikuluar | 5 | 60 | 90 | 90 | | | | | 100 | 100 |
| 11) Trajlera e mjete te artikuluar | 5 | 40 | 100 | | | | | 80 | 80 | 80 |
| 12) Trajlera e mjete te artikuluar | 5 | 60 | 110 | | | | | 90 | 90 | 90 |
| 13) Mjete pune (Kamion) | 5 | 50 | 120 | | | | | 130 | 130 | 130 |
| 14) Autobuze | 2 | 40 | | 80 | | | | | | |
| 15) Autobuze | 2 | 60 | | 100 | | | | | | |
| 16) Autobuze | 2 | 50 | | 80 | | | | | | |

Kthimi i mjeteve ne njesi, behet duke marre per mjet njesi veturen, sipas tabeles se meposhtme :

Tab.3 Konvertimi ne mjetet njesi

| Nr. | Emertimi i llojit te mjeteteve | Koeficienti i kthimit |
|-----|---|-----------------------|
| 1 | Vetura dhe automjete te tjera te vogla deri 1,5 ton | 1 |
| 2 | Kamion pa rimorkio | 2 |
| 3 | Autobuze | 2.5 |
| 4 | Kamion me rimorkio, maune, traktore me goma | 3.5 |
| 5 | Karroce | 4.0 |
| 6 | Motociklete | 0.25 |

Trafiku merret ne konsiderate sipas katalogut, dhe shprehet ne numrin komplesiv te mjeteteve komerciale qe kalojne ne korsine me te ngarkuar.

Nivelet e trafikut te parashikuar jepen ne Tab. 4

Tab.4 Niveli i trafikut ne korsine me te ngarkuar.

| Niveli i trafikut | Numri i mjeteteve komerciale |
|-------------------|------------------------------|
| Autostrada | 12.000-15.000 |
| I | 5.001-12.000 |
| II | 2.501-5.000 |
| III | 1.251-2.5000 |
| IV | 350-1.250 |
| V | Me pak se 350 |

I.3 Bazamenti

Parametria e zgjedhur per te karakterizuar aftesine mbajtese, eshte "moduli rezilient", Mr e projektit e cila vleresohet mbi bazen e provave eksperimentale te vleresuara sipas normes AASHTO T274-82.

Zgjedhja e ketij parametri percaktohet nga fakti qe shpreh me se miri aftesine mbajtese te bazamentit, duke marre ne konsiderarte komponentin e viskozitetit reversibel te modulit te deformacionit. Kur nuk disponohet atrecatura e nevojshme per percaktimin e Mr-se, mund te perdoren korelacionet e peraferta disponible me treguesin **CBR** dhe modulin e reaksionit **K**.

Konsiderohen tre kategori tereni me bazament te mire, sipas moduleve reziliente te paraqitura ne tabelen nr. 5.

Tab.5 Moduli rezilient i bazamentit.

| | |
|--------------------------|------------------------|
| Mr=150 N/mm ² | CBR=15 %, K=100 Kpa/mm |
| Mr=90 N/mm ² | CBR=9 %, K=60 Kpa/mm |
| Mr=30 N/mm ² | CBR=3%, K=20 Kpa/mm |

Mund te vleresohet qe ne rastin kur kemi terrene me aftesi mbajtese te dobet (Mr=30 N/mm² ose CBR= 3%) , ne rastet e autostradave, rrugeve ekstraurbane kryesore dhe sekondare me trafik te rende, skeda e katalogut parashikon nderhyrjet per bonifikimin e terrenit te bazamentit per te garantuar konservimin e nje niveli te rregullt mbi te cilin do te vendosen shtresat rrugore.

I.4 Llogaritja

Llogaritja e shtresave ne katalog bazohet ne metoda dimensionimi qe jane empirike, teorike edhe racionale.

Metoda empiriko-teorike e perdorur , bazohet ne “Udhezuesin AASHTO per Projektimin e Strukture se Shtresave”. Kjo metode ka per qellim nder te tjera te marre ne konsiderate besueshmerine e zgjedhjeve, si dhe probabilitetin e tyre te jetegjatesise deri ne fund te kohes se perdorimit, si dhe treguesin e funksionalitetit PSI (Present Service Ability Indeks).

Ne vijim te sa me siper dhe sipas investigimeve te kryera ne kete faze, rezulton se trafiku perdorues ne aksin rrugor Dukaj – Sinanaj eshte relativisht i lehte. Meqenese projekti kalon ne nje zone ku nuk ka pasur rruge me pare atehere edhe numri dhe llojet e makinave qe do te kalojne ne rruge nuk eshte i matur. Per te percaktuar numrin dhe llojet e makinave qe do te kalojne ne kete aks rrugor jemi mbeshtetur ne faktin se kjo rruge lidh fshatrat Dukaj dhe Sinanaj dhe se popullsia e ketyre zonave eshte relativisht e vogel.Gjithashtu,Duke u bazuar ne sa me siper , ky aks rrugor do kete nje fluks me te lehte se aksi Tepelene-Kuç. Duke u bazuar ne keto te dhena numri dhe struktura e mjeteve perdorues jepet ne tabelen e meposhtme.

Numri i mjeteve qe do te perdorin kete aks rrugor do te jete rreth 400 mjete për 24 orë, prej të cilave:

| Vetura | Furgona | Kamiona –15ton |
|-----------------|----------------|----------------|
| 60% | 30% | 10% |
| 1 | 1 | 2 |
| 108 mjete/njësi | 54 mjete/njësi | 18 mjete/njësi |

E konvertuar në mjete njësi sipas koeficientëve ky numër verifikohet në:

180 mjete/njësi/ditë

Nga llogaritja rezulton se sasia e mjeteve njësi që kalojnë për një periudhë një mujore është:

$$n = 180 * 30 \text{ ditë} = 5'400 \text{ mjete/njësi/muaj}$$

Sasia e mjeteve njësi që kalojnë për një vit është:

$$N = 5'400 \text{ mjete/njësi} \times 12 = 64'800 \text{ mjete/njësi/vit}$$

Sipas të dhënave nga matjet e kryera në objekt, përqindja e rritjes është rreth 5% ndërsa periudha e llogaritjes së trafikut është e kërkuar për 20 vjet.

Sasia e mjeteve e pritshme për një periudhë 20 vjeçare llogaritet si më poshtë:

$$N = \frac{(1 + 5\%)^{20} - 1}{5\%} = X \text{ mjete/njësi}$$

Duke vendosur vlerat e rezultuara nga matjet, rezulton qe sipas formulas, numri i mjeteve per një periudhe 20 vjecare eshte si me poshtë:

$$N = 64,800 \frac{1.6289 - 1}{0.15} = 815,054 \text{ mjete/njësi}$$

Duke qene se rruga e projektuar kerkohet me dy vija kalimi numri I mjeteve njësi qe kalon ne një korsi eshte:

$$N = \frac{815,054}{2} = 407,527 \text{ mjete/njësi}$$

Llogaritia e shtresave rrugore bazohet mbi studimin gjeologjik, dhe në të dhënrat e gjendjes së bazamentit të rrugës.

Llogaritia e shtresave është bazuar në normat italiane CNR, të cilat bazohen në metodën AASHTO sipas volumit të trafikut komercial për të gjithë kohën e jetëgjatësisë së parashikuar në projekt dhe rritjes mesatare vjetore.

Llogaritjet janë bërë në përputhje me kapacitetin mbajtes të bazamentit të shprehur në modulin e kompresionit, modulin e deformacionit dhe CBR (modulin rezilient Mr). Ngarkesa aksiale është marrë 10 ton.

Sasia e trafikut të parashikuar për një periudhë 20 vjeçare prej 1'992'338 mjete njësi ose 996'169 ne një korsi, mund të grupohet për llogaritjen e shtresave në grupin nga katalogu i shtresave N. 5F per rruge ekstra urbane sekondare – Turistike me CBR te paraqitura ne tabelen e meposhtme.

Sipas AASHTO çdo shtresë karakterizohet nga një koeficient i fortësisë i cili është përcaktuar nga kapaciteti mbajtës dhe shuma e tyre për çdo shtresë jep numrin strukturor S_N .

Sipas studimit gjeologjik rezultojne 3 lloj bazamentesh gjeologjike te lokalizuar ne progresivat perkates dhe me tregues te CBR si me poshte:

Tab.6 Pershkrimi i bazamentit gjeologjik

| Nr. | Progresivi | Distanca(km) | CBR |
|-----|-----------------|--------------|-----|
| 1 | 0+000 – 4+300 | 4.300 | 50% |
| 2 | 4+300 – 7+300 | 3.000 | 60% |
| 3 | 7+300 – 12+700 | 5.400 | 30% |
| 4 | 12+700 – 13+950 | 1250 | 50% |

Sipas te dhenave te mesiperme, rezulton qe rruga e projektuar mbeshtetet ne teresi ne formacione te forta .

Referuar sa me siper, per trajtimin e shtresave rruore dhe llogaritjen e tyre, do te mbeshtetemi ne tre grupime kryesore si me poshte :

1. Bazamente me CBR 9% K=60 Kpa/mm ($Mr= 90 \text{ N/mm}^2$) .

Ky lloj bazamenti shtrihet ne keto zona sipas progresivave:

2. Bazamente me CBR me te madhe se 25% (bazamente shume te forta shkembore).Ky lloj bazamenti shtrihet ne keto zona sipas progresivave:

Numri strukturor i shtresave te marra në katalog do të jetë:

Per $Mr = 90 \text{ N/mm}^2$ (CBR 9%) (sipas katalogut)

| | |
|-----------------------|------------------------|
| Asfaltobeton | $4 \times 0.45 = 1.8$ |
| Binder | $5 \times 0.40 = 2.0$ |
| Konglomerat bituminos | $10 \times 0.30 = 3.0$ |
| Stabilizant | $15 \times 0.14 = 2.1$ |

$$S_N = 8.9$$

Per $Mr = 150 \text{ N/mm}^2$ (CBR 15%) (sipas katalogut)

| | |
|-----------------------|------------------------|
| Asfaltobeton | $4 \times 0.45 = 1.8$ |
| Binder | $5 \times 0.40 = 2.0$ |
| Konglomerat bituminos | $10 \times 0.30 = 3.0$ |

$$S_N = 6.8$$

Sipas projektit të paraqitur kemi këto shtresa:

Per $M_r = 90 \text{ N/mm}^2$ (CBR 9%)

| | |
|---------------------------|------------------------|
| Asfaltobeton | $4 \times 0.45 = 1.8$ |
| Binder | $6 \times 0.40 = 2.4$ |
| Stabilizant 0/20 (2x10cm) | $20 \times 0.14 = 2.8$ |
| Cakull minash (1x20cm) | $20 \times 0.14 = 2.8$ |
| | $S_N = 9.8$ |

$S_N = 9.8 > S_N = 8.9$

Per M_r mbi 250 N/mm^2 (CBR me te medha se 25%)

| | |
|---------------------------|-------------------------|
| Binder | $6 \times 0.40 = 2.40$ |
| Stabilizant 0/20 (2x10cm) | $20 \times 0.14 = 2.80$ |
| | $S_N = 5.0$ |

Shtresat e parashikuara sipas projektit me shtrese binderi $T= 6\text{cm}$ jane te mjaftueshme per kategorinë e rrugës.

PËRFUNDIMISHT

1. Shtresat e parashikuara në projekt janë më se të mjaftueshme për rrugën që projektohet.
2. Volumet rezultuese përfshihen në preventivin e objektit.
3. Shtresat e llogaritura pasqyrohen në profilat tip të Projekt Zbatimit.
4. Detajimi i plotë i shtresave jepet ne vizatimet tip te projektit te zbatimit.

7.3.0 VEPRAT E ARTIT

3.1.0 LLOGARITJA E TOMBINOVE

3.1.1 Llogaritja e tombinove rrethore

3.2.0 LLOGARITJA E MUREVE MBAJTES DHE PRITES

3.3.0 LLOGARITJA E URAVE

- **Hyrje**

Segmenti Dukaj – Sinanaj me nje gjatesi totale prej 14549 ml pershkohet nga nje numer i konsiderueshem vepra arti. Keto vepra arti perbene nga ura te medha, ura te vogla, tombino rrethore e drejtkendore si dhe nga mure mbajtes e prites.

Pergjithsisht kushtet gjeologo-inxhinierike gjate trasese se rruges ne ato vende ku jane vendosur veprat e artit jane te mira. Seksioni i veprave te artit eshte llogaritur ne baze te prurjeve te ujrave dhe te nivelit maksimal me siguri 1%.

Aksi rrugor Dukaj – Sinanaj eshte perballur me se miri me skemen e ngarkeses se levizshme N-18; T-80.

Projekti parashikon vendosjen e veprave te artit duke iu pershtatur gjeresis se trupit te rruges sipas kategoris C'2 me seksion terthore te llogarit sipas prurjeve faktike me siguri 1%.

Llogaritja e veprave te artit eshte bere ne perputhje me kushtet teknike te projektimit qe jane ne fuqi.

1. Max 10.0 I cili perdoret per llogaritjen e mureve mbajtes dhe prites
2. Scat 10.0 I cili perdoret per llogaritjen e strukturave me kontur te mbyllur , tombinove rrethore, katrore, e te formave te ndryshme.

3.1.0 LLOGARITJA E TOMBINOVE

3.1.1 LLOGARITJA E TOMBINOVE RRETHORE

Presioni gjeostatik

Presioni gjeostatik llogaritet si produkt i peshes volumore dhe lartesise se shtresave te siperme(te vendosura mbi tombino):

$$P_v = \gamma H$$

Nqs ne siperfaqen e tokes veprojne ngarkesa te perqendruara ose te shperndara, difuzioni I tyre ne toke behet sipas nje kendi me vlere 45.00° .

Presioni aktiv. Metoda e Kulombit

Teoria Kulombit konsideron hipotezen e një pyke goditese në anën mbajtese te murit që lëviz ne menyre rigjide përgjatë një sipërfaqe drejtvizore.

Presioni i ushtruar nga toka ne anen mbajtese te murit është fituar nga ekuilibri i pykës goditese.

Në veçanti, Kulombi pranon, në kundërshtim me teorinë Rankine, ekzistencen e fërkimit mes tokës dhe murit, dhe për këtë arsy komponentja e presionit aktiv eshte e inklinuar sipas normales me kedin e ferkimit mes tokes dhe murit.

Shprehja e presionit per nje mbushje me peshe volumore γ dhe lartesi H , sipas teorise se Kulombit, eshte sipas relacionit te meposhtem(per dherat jokohezive):

$$S = 1/2\gamma H^2 K_a$$

K_a perfaqeson koeficentin aktiv sipas nje version te Muller-Breslau,e shprehur si:

$$K_a = \frac{\sin(\alpha + \phi)}{\sqrt{[\sin(\phi+\delta)\sin(\phi-\beta)]} \sqrt{[\sin(\alpha-\delta)\sin(\alpha+\beta)]^2}}$$

ku :

ϕ --- eshte kendi I ferkimit te brendeshem

α — perfaqeson kedin qe formon muri me horizontalen ($\alpha = 90^\circ$ per mure vertikal)

δ ---eshte kendi I ferkimit mes tokes dhe murit

β —eshte pjerresia e mbushjes krahasuar me horizontalen.

Rezultantja e presionit eshte e inklinuar sipas kendit δ , duke u krahasuar me drejtimin normal te murit.Diagrama e presionit te tokes ne mur eshte ne forme trekendore me nje maksimum.

Pika e aplikimit te presionit aktiv eshte percaktuar ne lidhje me kufirin e diagrameve se presioni($1/3 H$,marre nga baza e murit).

Shprehja e koeficentit aktiv K_a nuk ka kuptim per $\beta > \phi$ kjo per arsyen se vlera e kendit te pjerresise se mbushjes nuk mund te jetë me e madhe se vlera e kendi te te ferkimit te brendshem te dherave.

Ne rastin e dherave me kend ferkimi ϕ dhe kohezion c , vlera e sforcimit aktiv qe vepron ne mur per nje thellesi z variabel eshte:

$$\sigma_a = \gamma z K_a - 2 c \sqrt{K_a}$$

Presioni aktiv ne prani te ujrate nentokesore.

Ne rast te pranise se ujrate nentokesore diagrama e sforcimeve modifikohet per shkak te prezences se presionit qe ushtrojne ujerat nentokesore. Pesha volumore e dheut mbi nivelin e ujrate nentokesore nuk ndryshon.

Anasjelltas poshte nivelit te ujrate nentokesore pesha volumore e dheut lethesohet dhe ky ndryshim duhet te merret parasysh.

$$\gamma_a = \gamma_{sat} - \gamma_w$$

Ku:

γ_{sat} --eshte pesha volumore e dheut te ngopur me uji (varur nga indeksi I poreve).

γ_w -- eshte pesha volumore e ujit.

Diagrame totale te presionit duhet ti shtohet dhe diagrama e presionit prej pranise se ujrate nentokesore.

Per shkak te presionit nga ujrat nentokesore, diagrama e presionit ndryshon dhe ka nje pjerresi me te vogel.

Presioni pasiv

Koeficenti i presionit pasiv shprehet sipas relacionit:

$$K_0 = 1 - \sin\phi$$

Ku ϕ eshte kendi i ferkim te brendshem te dheut baze.

Sfrcimi per nje thellesi variable z dhe vlera totale e presionit pasive jane:

$$\sigma = \gamma z K_0 + p_v K_0$$

$$S = 1/2 \gamma H^2 K_0 + p_v K_0 H$$

ku p_v eshte vlera e sforcimit vertikal sipas drejtimit kryesor.

Presioni aktiv ne prani te sizmikes – Metoda Mononobe-Okabe

Per te treguar rritjen e vleres se presionit per shkak te sizmikes, referohemi te metoda Mononobe-Okabe. Duke u referuar te pjerresia e mbushjes e krahasuar me horizontalen, dhe te pjerresia e murit β e krahasuar me vertikalen, presionit S' eshte llogaritur duke konsideruar njekohesisht te dyja pjerresite:

$$\varepsilon' = \varepsilon + \theta$$

$$\beta' = \beta + \theta$$

Ku $\theta = \arctg(C)$, C eshte koeficent i intesitetit sizmik.

Duke u mbeshtetur te presioni S i llogaritur ne kushte statike, shtesa e presionit per shkak te veprimit te termetit shprehet:

$$\Delta S = AS' - S$$

Ku vlera e koeficentit A eshte:

$$A = \frac{\cos^2(\beta + \theta)}{\cos^2\beta \cdot \cos\theta}$$

Pika e zbatimit te shteses se presionit eshte ne 2/3 e lartesise se murit. Pervec kesaj rritje te presionit duhen marr parasysh dhe forcat inerciale horizontale qe lindin per shkak te veprimit te termetit:

$$F_i = CW$$

Metoda e zgjidhjes

Duke filluar nga lloji i dherave, gjeometria dhe mbingarkesat programi eshte ne gjendje te njohe te gjitha ngarkesat qe veprojne ne strukture per cdo lloj kombinimi ngarkese.

Struktura kuti (tombino katrore) eshte skematizuar si një rame plane dhe i eshte dhene zgjidhje me ane te metodes se elementeve te fundem, duke e shperbere ramen ne një sere elementesh te bashkuar mes tyre me ane te nyjeve(cernierave). Ndersa dheu baze ku vendoset struktura (themeli) eshte skematizuar ne një sere elemente susta qe merr zgjidhje sipas metodes Winkler. Siperfaqja e një elementi te vetem suste eshte proporcionale me konstanten e Winklerit. Duke u mbeshtetur te një element i vetem matrica e ngurtesise eshte K_e , ndersa matrica e ngurtesise e gjithe struktures eshte K (shuma e te gjitha matricave te elementeve).

Te gjitha ngarkesat qe veprojne ne strukture jane transformuar ne ngarkesa nyiore, dhe te insertuara ne ngarkese vektoriale nyiore p . Duke perdorur dhe zhvendosjen nyiore u (te panjohur), zgjidhja mund te jepet:

$$K u = p$$

Nga ky relacion vlera e panjohur e zhvendosjes eshte:

$$u = K^{-1} p$$

Duke ditur zhvendosjet nyiore mund te gjejme forcat e brendshme ne elemente te ndryshem. Zgjidhja e sistemit eshte kryer per cdo kombinim ngarkesash qe vepron ne strukturen kuti.

Llogaritia e njëpasnjëshme e armatures se elementeve të ndryshme eshte kryer duke marrë parasysh kushtet më të rënda të cilat mund të lindin në sektionet per gjate veprimit të të gjithave kombinimeve te ngarkesave.

- Llogaritja e tombinove rrethore me diameter $\varnothing 1000\text{mm}$

Geometria e tubit

Pershkrimi:

Diametrii jashtem vertikal

Diametri i jashtem horizontal

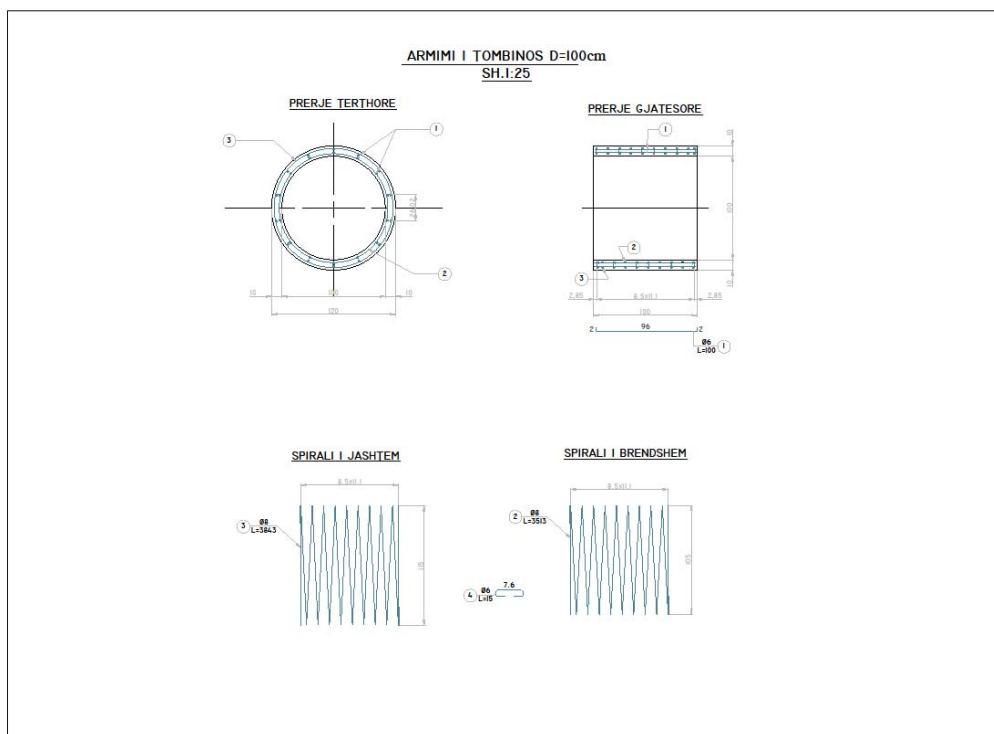
Trashesia

forme rrethore

1.30 [m]

1.30 [m]

0.15 [m]



Pershkrimi I shtresave te dheut

Shtresa mbivendosur

| Pershkrimi | Shtresa e mbivendosur | |
|--------------------------|-----------------------|----------|
| Trashesia e shtreses | 2.20 | [m] |
| Pesha volumore | 2000.00 | [kg/mc] |
| Pesha volumore specifike | 2000.00 | [kg/mc] |
| Kendi I ferkimit | 30.00 | [°] |
| Kohezioni | 0.00 | [kg/cmq] |

Shtresa e mbushjes

| Pershkrimi | shtresa e mbushjes | |
|---------------------------------|--------------------|-------------|
| Pesha volumore | 1600.00 | [kg/mc] |
| Pesha volumore specifike | 2000.00 | [kg/mc] |
| Kendi I ferkimit | 30.00 | [°] |
| Kendi I ferkimit toke-strukture | 20.00 | [°] |
| Kohesioni | 0.00 | [kg/cmq] |
| Konstantja e Winkler | 0.00 | [kg/cmq/cm] |

Shtresa baze

| Pershkrimi | shtresa baze | |
|---------------------------------|--------------|-------------|
| Pesha volumore | 1800.00 | [kg/mc] |
| Pesha volumore specifike | 2000.00 | [kg/mc] |
| Kendi I ferkimit | 20.00 | [°] |
| Kendi I ferkimit toke-strukture | 20.00 | [°] |
| Kohesioni | 0.00 | [kg/cmq] |
| Konstantja e Winkler | 5.00 | [kg/cmq/cm] |
| Sforcimi i lejuar | 2.00 | [kg/cmq] |

Pershkrimi I materialit

Beton

| | | |
|---|-----------|----------|
| R _c ke betonit | 250.00 | [kg/cmq] |
| Pesha specifike e betonit | 2500.00 | [kg/mc] |
| Moduli i elasticitetit E | 284604.99 | [kg/cmq] |
| Sorcimi i lejuar i armatures | 2600.00 | [kg/cmq] |
| Sforcimi i lejuar i betonit (σ_{amm}) | 85.00 | [kg/cmq] |
| Sforcimi tangencial i lejuar i betonit (τ_{c0}) | 5.33 | [kg/cmq] |
| Sorcimi tangencial i lejuar (τ_{c1}) | 16.85 | [kg/cmq] |
| Koeficenti I homogenitetit te betonit ne ngjeshje(n')0.50 | | |
| Koeficenti I homogenitetit beton/armature(n) | 15.00 | |
| Koeficenti I zgjerimit termik | 0.0000120 | |

Kushtet e ngarkimit

Konventa te miratuara

Origjina eshte marre ne anen e majte me te ulet te struktura

Ngarkesa positive vertikale poshte
 Ngarkesa positive horizontale djathtas
 Momenti i perqendruar pozitiv nqs eshte ne krahun antiorar
 X abshisa (e shprehur ne m) positive djathtas
 Y ordinate (e shprehur ne m) positive larte
 Ngarkese e perqendruar ne kg
 Moment i perqendruar ne kgm
 Ngarkese e shperndare ne kg/m

Simbolet dhe njesite e permasave

Forcat e perqendruara

X Pika e aplikimit abshisa te forces vertikale te perqendruar
 Y Pika e aplikimit ordinate te forces horizontale te perqendruar
 F_y Komponentja Y e ngarkeses se perqendruar
 F_x Komponentja X e ngarkeses se perqendruar
 M Momenti

Forcat e shperndara

X_i, X_f Pika e fillimit dhe e mbarimit(abshisa) e ngarkeses vertikale te shperndare
 Y_i, Y_f Pika e fillimit dhe e mbarimit(ordinata) e ngarkeses horizontale te shperndare
 V_{ni} Komponentja normale e ngarkeses se shperndare ne piken e fillimit
 V_{nf} Komponentja normale e ngarkeses se shperndare ne piken e mbarimit
 V_{ti} Komponentja tangenciale e ngarkeses se shperndare ne piken e fillimit
 V_{tf} Komponentja tangenciale e ngarkeses se shperndare ne piken e mbarimit
 D_{te} Ndryshimi i jashtem termik i shprehur ne grade celsius
 D_{ti} Ndryshimi i brendeshem termik i shprehur ne grade Celsius

Kushi i ngarkimit n°1 (Pesha vetiake)

Kushi i ngarkimit n°2 (Sforcimi i terrenit majtas)

Kushi i ngarkimit n°3 (Sforcimi i terrenit djathtas)

Kushi i ngarkimit n°4 (Sforcimi majtas-Sizmika)

Kushi i ngarkimit n°5 (Sforcimi djathtas-Sizmika)

Kushti i ngarkimit n° 7 (kKushti 1)

Ng.te sherndara Dhera $X_i = 0.00$ $X_f = 1.00$ $V_{ni} = 4000$ $V_{nf} = 4000$

Pershkrimi I kombinimit te ngarkesave

Simbolet e perdonura

γ Koeficienti i pjesmarrjes se kushteve te ngarkimit
 ψ Koeficienti i kombinimit te kushteve te ngarkimit
 C Koeficienti total i pjesmarrjes se kushteve te ngarkimit

Koeficenti i kombinimit $\Psi_0 = 0.70$ $\Psi_1 = 0.50$ $\Psi_2 = 0.20$

Kombinimi n° 1 Sforcimet e lejuara

| | γ | Ψ | C |
|------------------------------|----------|--------|------|
| Pesha vetiake | 1.00 | 1.00 | 1.00 |
| Sforcimi i terrenit majtas | 1.00 | 1.00 | 1.00 |
| Sforcimi i terrenit djathtas | 1.00 | 1.00 | 1.00 |
| Kushti 1 | 1.00 | 1.00 | 1.00 |

Kombinimi n° 2 Sforcime te lejuara - Sizmika

| | γ | Ψ | C |
|------------------------------|----------|--------|------|
| Pesha vetiake | 1.00 | 1.00 | 1.00 |
| Sforcimi i terrenit majtas | 1.00 | 1.00 | 1.00 |
| Sforcimi i terrenit djathtas | 1.00 | 1.00 | 1.00 |
| Kushti 1 | 1.00 | 1.00 | 1.00 |
| Sizmika majtas | 1.00 | 1.00 | 1.00 |

Kombinimi n° 3Sforcime te lejuara - Sizmika

| | γ | Ψ | C |
|------------------------------|----------|--------|------|
| Pesha vetiake | 1.00 | 1.00 | 1.00 |
| Sforcimi i terrenit majtas | 1.00 | 1.00 | 1.00 |
| Sforcimi i terrenit djathtas | 1.00 | 1.00 | 1.00 |
| Kushti 1 | 1.00 | 1.00 | 1.00 |
| Sizmika djathtas | 1.00 | 1.00 | 1.00 |

Analiza dhe verifikimet

Simbolet e perdorura dhe njesite

Origjina ne anen majtas me te ulet

Forcat horizontale jane positive djathtas

Forcat vertikalej ane positive poshte

X abshisa (ne m) pozitive djathtas

Y ordinate (ne m) pozitive larte

M momenti ne kgm

V forca shtypese ne kg

SN forca aksiale ne kg

ux zhvendosja ne drejtimin X ne cm

uy zhvendosja ne drejtimin Y ne cm

σ_t sforcimi ne nivelin e themelit ne kg/cm²

Tipi I analizes

Sforcimi ne solete

Presioni ne muret anesore

Sforcimi gjeostatike

Aktive [kombinim 1]

Aktive [kombinim 2]

| | | |
|---|--------------------------------|--------------|
| | Aktive | [kombinim 3] |
| <u>Sizmika</u> | | |
| Koeficenti i intesitetit sizmik (perqind) | 7.00 | |
| Forma e diagrames se shteses nga sizmika | Trekendore me nje pike te ulet | |
| Presioni sizmik-Metoda | Mononobe-Okabe | |
| Sforcimi ne solete (vetem pesha e dheut) | 3960.0 | |
| Kendi I shperndarjes se mbingarkimit | 30.00 [°] | |

Koeficentat te presionit

| Nº kombinimi | Statik | Sizmik |
|--------------|--------|--------|
| 1 | 0.297 | 0.000 |
| 2 | 0.297 | 0.344 |
| 3 | 0.297 | 0.344 |

Diskretizimi i struktures

| | |
|------------------------------|----|
| Numri i elementeve - themeli | 64 |
| Numri i elementeve - soleta | 64 |
| Numri i sustave - themeli | 65 |

Analiza e kombinimit n° 1

Ngarkesa vertikale ne solete

| Xi | Xj | Q[kg/mq] |
|--------|-------|----------|
| -10.98 | 12.98 | 3960.00 |

Presioni ne muret anesore

Sforcimi ne murin majtas (larte) 1106.36 [kg/mq] Sforcimi (poshte) 2112.14 [kg/mq]
 Sforcimi ne murin djathtas (larte) 1106.36 [kg/mq] Sforcimi (poshte) 2112.14 [kg/mq]

Analiza e kombinimit n° 2

Ngarkesa vertikale ne solete

| Xi | Xj | Q[kg/mq] |
|--------|-------|----------|
| -10.98 | 12.98 | 3960.00 |

Presioni ne muret anesore

Sforcimi ne murin majtas (larte) 1106.36 [kg/mq] Sforcimi (poshte) 2112.14 [kg/mq]
 Sforcimi ne murin djathtas (larte) 1106.36 [kg/mq] Sforcimi (poshte) 2112.14 [kg/mq]

Presioni sizmik ne muret anesore

Sforcimi ne murin majtas (larte) 501.17 [kg/mq]

Sforcimi (poshte) 0.00 [kg/mq]

Analiza e kombinimit n° 3

Ngarkesa vertikale ne solete

| Xi | Xj | Q[kg/mq] |
|--------|-------|----------|
| -10.98 | 12.98 | 3960.00 |

Presioni ne muret anesore

Sforcimi ne murin majtas (larte) 1106.36 [kg/mq] Sforcimi (poshte) 2112.14 [kg/mq]
Sforcimi ne murin djathtas (larte) 1106.36 [kg/mq] Sforcimi (poshte) 2112.14 [kg/mq]

Presioni sizmik ne muret anesore

Sforcimi ne murin djathtas (larte) 501.17 [kg/mq] Sforcimi (poshte) 0.00 [kg/mq]

Zhvendosjet

Zhvendosjet ne themel (Kombinimi n° 1)

| X [m] | u _x [cm] | u _y [cm] |
|-------|---------------------|---------------------|
| 0.15 | -0.002 | 0.135 |
| 0.56 | 0.000 | 0.133 |
| 1.00 | 0.000 | 0.132 |
| 1.44 | 0.000 | 0.133 |
| 1.85 | 0.002 | 0.135 |

Zhvendosjet ne solete (Kombinimi n° 1)

| X [m] | u _x [cm] | u _y [cm] |
|-------|---------------------|---------------------|
| 0.15 | -0.002 | 0.135 |
| 0.56 | 0.000 | 0.133 |
| 1.00 | 0.000 | 0.132 |
| 1.44 | 0.000 | 0.133 |
| 1.85 | 0.002 | 0.135 |

Zhvendosjet ne themel (Kombinimi n° 2)

| X [m] | u _x [cm] | u _y [cm] |
|-------|---------------------|---------------------|
| 0.15 | 0.037 | 0.112 |
| 0.56 | 0.019 | 0.121 |
| 1.00 | 0.015 | 0.132 |
| 1.44 | 0.019 | 0.145 |
| 1.85 | 0.041 | 0.158 |

Zhvendosjet ne solete (Kombinimi n° 2)

| X [m] | u _x [cm] | u _y [cm] |
|-------|---------------------|---------------------|
| | | |

| | | |
|------|-------|-------|
| 0.15 | 0.037 | 0.112 |
| 0.56 | 0.059 | 0.125 |
| 1.00 | 0.062 | 0.137 |
| 1.44 | 0.059 | 0.148 |
| 1.85 | 0.041 | 0.158 |

Zhvendosjet ne themel (Kombinimi n° 3)

| X [m] | u _x [cm] | u _y [cm] |
|-------|---------------------|---------------------|
| 0.15 | -0.041 | 0.158 |
| 0.56 | -0.019 | 0.145 |
| 1.00 | -0.015 | 0.132 |
| 1.44 | -0.019 | 0.121 |
| 1.85 | -0.037 | 0.112 |

Zhvendosjet ne solete (Kombinimi n° 3)

| X [m] | u _x [cm] | u _y [cm] |
|-------|---------------------|---------------------|
| 0.15 | -0.041 | 0.158 |
| 0.56 | -0.059 | 0.148 |
| 1.00 | -0.062 | 0.137 |
| 1.44 | -0.059 | 0.125 |
| 1.85 | -0.037 | 0.112 |

Forcat e brendshme

Forcat e brendshme ne themel (Kombinimi n° 1)

| X [m] | M [kgm] | V [kg] | N [kg] |
|-------|---------|----------|---------|
| 0.15 | -661.68 | -2.81 | 4368.53 |
| 0.56 | 316.79 | -1403.46 | 2447.71 |
| 1.00 | 686.12 | 96.39 | 1683.84 |
| 1.44 | 316.79 | 1482.84 | 2640.70 |
| 1.85 | -661.68 | 2.81 | 4368.53 |

Forcat e brendshme ne solete (Kombinim n° 1)

| | | | |
|------|---------|----------|---------|
| 0.15 | -661.68 | 211.55 | 4363.40 |
| 0.56 | 307.81 | 1344.28 | 1836.11 |
| 1.00 | 637.24 | 26.54 | 1081.24 |
| 1.44 | 307.81 | -1252.57 | 1899.86 |
| 1.85 | -661.68 | -211.55 | 4363.40 |

Forcat e brendshme ne themel (Kombinimi n° 2)

| X [m] | M [kgm] | V [kg] | N [kg] |
|-------|---------|----------|---------|
| 0.15 | -593.78 | 187.39 | 4217.61 |
| 0.56 | 190.03 | -1389.10 | 2809.76 |
| 1.00 | 624.04 | -193.76 | 2029.01 |
| 1.44 | 397.62 | 1221.53 | 2786.55 |
| 1.85 | -640.57 | 263.82 | 4517.71 |

Forcat e brendshme ne solete (Kombinim n° 2)

| X [m] | M [kgm] | V [kg] | N [kg] |
|-------|---------|----------|---------|
| 0.15 | -593.78 | 394.11 | 4203.33 |
| 0.56 | 349.47 | 1155.29 | 1854.16 |
| 1.00 | 593.54 | -124.36 | 1272.18 |
| 1.44 | 220.71 | -1270.95 | 2161.57 |
| 1.85 | -640.57 | 41.82 | 4525.22 |

Forcat e brendshme ne themel (Kombinimi n° 3)

| X [m] | M [kgm] | V [kg] | N [kg] |
|-------|---------|----------|---------|
| 0.15 | -640.57 | -263.82 | 4517.71 |
| 0.56 | 397.62 | -1121.54 | 2613.31 |
| 1.00 | 624.04 | 369.42 | 2042.83 |
| 1.44 | 190.03 | 1432.91 | 2990.64 |
| 1.85 | -593.78 | -187.39 | 4217.61 |

Forcat e brendshme ne solete (Kombinim n° 3)

| X [m] | M [kgm] | V [kg] | N [kg] |
|-------|---------|----------|---------|
| 0.15 | -640.57 | -41.82 | 4525.22 |
| 0.56 | 220.71 | 1375.49 | 2096.60 |
| 1.00 | 593.54 | 186.63 | 1264.55 |
| 1.44 | 349.47 | -1062.92 | 1908.61 |
| 1.85 | -593.78 | -394.11 | 4203.33 |

Sforcimet ne dhera

Sforcimi ne dherat e themelit (Kombinimi n° 1)

| X [m] | σ_t [kg/cm ²] |
|-------|----------------------------------|
| 0.15 | 0.67 |
| 0.56 | 0.66 |
| 1.00 | 0.66 |
| 1.44 | 0.66 |
| 1.85 | 0.67 |

Sforcimi ne dherat e themelit (Kombinimi n° 2)

| X [m] | σ_t [kg/cm ²] |
|-------|----------------------------------|
| 0.15 | 0.56 |

| | |
|------|------|
| 0.56 | 0.61 |
| 1.00 | 0.66 |
| 1.44 | 0.72 |
| 1.85 | 0.79 |

Sforcimi ne dherat e themelit (Kombinimi n° 3)

| X [m] | σ_t [kg/cmq] |
|-------|---------------------|
| 0.15 | 0.79 |
| 0.56 | 0.72 |
| 1.00 | 0.66 |
| 1.44 | 0.61 |
| 1.85 | 0.56 |

Kontrolli i sektioneve

Simbolet e perdonura dhe njesite

N° Numri i sektionit

X Abshisa/ordinate e sektionit ne m

M Momenti perkules, ne kgm

V forca prerese, ne kg

N Forca aksiale, ne kg

A_{fi} Siperfaqja e armatures se poshtme, ne cmq

A_{fs} Siperfaqja e armatures se siperme, ne cmq

σ_{fs} Sforcimi ne armaturen e poshtme, ne kg/cmq

σ_{fi} Sforcimi ne armaturen e siperme, ne kg/cmq

σ_c Sforcimi ne beton, ne kg/cmq

τ_c Sforcimi tangenciale ne beton, ne kg/cmq

Kontrolli i sektionit - themeli [Kombinimi n° 1 – Sforcime te lejuara]

Baza e sektionit B = 100 cm

Lartesia e sektionit H = 30.00 cm

Kontrolli nga momenti perkules

| N° | X | M | N | A _{fi} | A _{fs} | σ_{fs} | σ_{fi} | σ_c |
|----|------|------|------|-----------------|-----------------|---------------|---------------|------------|
| 1 | 0.15 | 662 | 4369 | 8.04 | 8.04 | 79.8 | 105.5 | 6.9 |
| 2 | 0.56 | -317 | 2448 | 8.04 | 8.04 | 37.8 | 38.8 | 3.2 |
| 3 | 1.00 | -686 | 1684 | 8.04 | 8.04 | 247.4 | 71.3 | 7.4 |
| 4 | 1.44 | -317 | 2641 | 8.04 | 8.04 | 32.0 | 39.0 | 3.2 |
| 5 | 1.85 | 662 | 4369 | 8.04 | 8.04 | 79.8 | 105.5 | 6.9 |

Kontrolli ne prerje

| N° | X | V | τ_c | A _{sw} |
|----|------|-------|----------|-----------------|
| 1 | 0.15 | -3 | 0.00 | 0.00 |
| 2 | 0.56 | -1403 | -0.65 | 0.00 |

| | | | | |
|---|------|------|------|------|
| 3 | 1.00 | 96 | 0.04 | 0.00 |
| 4 | 1.44 | 1483 | 0.65 | 0.00 |
| 5 | 1.85 | 3 | 0.00 | 0.00 |

Kontrolli i seksionit - soleta [Kombinimi n° 1 – Sforcime te lejuara]

Baza e seksionit B = 100 cm
 Lartesia e seksionit H = 30.00 cm

Kontrolli nga momenti perkules

| Nº | X | M | N | A _{fi} | A _{fs} | σ _{fs} | σ _{fi} | σ _c |
|----|------|------|------|-----------------|-----------------|-----------------|-----------------|----------------|
| 1 | 0.15 | -662 | 4363 | 8.04 | 8.04 | 105.7 | 79.8 | 6.9 |
| 2 | 0.56 | 308 | 1836 | 8.04 | 8.04 | 36.7 | 57.0 | 3.2 |
| 3 | 1.00 | 637 | 1081 | 8.04 | 8.04 | 62.8 | 257.0 | 6.9 |
| 4 | 1.44 | 308 | 1900 | 8.04 | 8.04 | 36.8 | 54.4 | 3.2 |
| 5 | 1.85 | -662 | 4363 | 8.04 | 8.04 | 105.7 | 79.8 | 6.9 |

Kontrolli ne prerje

| Nº | X | V | τ _c | A _{sw} |
|----|------|-------|----------------|-----------------|
| 1 | 0.15 | 212 | 0.09 | 0.00 |
| 2 | 0.56 | 1344 | 0.59 | 0.00 |
| 3 | 1.00 | 27 | 0.01 | 0.00 |
| 4 | 1.44 | -1253 | -0.59 | 0.00 |
| 5 | 1.85 | -212 | -0.09 | 0.00 |
| 5 | 1.53 | -139 | -0.14 | 0.00 |

Kontrolli i seksionit - themeli [Kombinimi n° 2 – Sforcime te lejuara]

Baza e seksionit B = 100 cm
 Lartesia e seksionit H = 30.00 cm

Kontrolli nga momenti perkules

| Nº | X | M | N | A _{fi} | A _{fs} | σ _{fs} | σ _{fi} | σ _c |
|----|------|------|------|-----------------|-----------------|-----------------|-----------------|----------------|
| 1 | 0.15 | 594 | 4218 | 8.04 | 8.04 | 72.1 | 83.5 | 6.1 |
| 2 | 0.56 | -190 | 2810 | 8.04 | 8.04 | 1.0 | 26.4 | 2.0 |
| 3 | 1.00 | -624 | 2029 | 8.04 | 8.04 | 197.8 | 67.8 | 6.7 |
| 4 | 1.44 | -398 | 2787 | 8.04 | 8.04 | 57.3 | 48.2 | 4.1 |
| 5 | 1.85 | 641 | 4518 | 8.04 | 8.04 | 77.7 | 91.3 | 6.6 |

Kontrolli ne prerje

| Nº | X | V | τ _c | A _{sw} |
|----|------|-------|----------------|-----------------|
| 1 | 0.15 | 187 | 0.08 | 0.00 |
| 2 | 0.56 | -1389 | -0.62 | 0.00 |
| 3 | 1.00 | -194 | -0.16 | 0.00 |
| 4 | 1.44 | 1222 | 0.53 | 0.00 |

| | | | | |
|---|------|-----|------|------|
| 5 | 1.85 | 264 | 0.11 | 0.00 |
|---|------|-----|------|------|

Kontrolli i seksionit - soleta [Kombinimi n° 2 – Sforcime te lejuara]

Baza e seksionit $B = 100 \text{ cm}$

Lartesia e seksionit $H = 30.00 \text{ cm}$

Kontrolli nga momenti perkules

| Nº | X | M | N | A _{fi} | A _{fs} | σ _{fs} | σ _{fi} | σ _c |
|----|------|------|------|-----------------|-----------------|-----------------|-----------------|----------------|
| 1 | 0.15 | -594 | 4203 | 8.04 | 8.04 | 84.0 | 72.1 | 6.1 |
| 2 | 0.56 | 349 | 1854 | 8.04 | 8.04 | 41.0 | 74.9 | 3.7 |
| 3 | 1.00 | 594 | 1272 | 8.04 | 8.04 | 60.4 | 224.4 | 6.4 |
| 4 | 1.44 | 221 | 2162 | 8.04 | 8.04 | 27.7 | 14.5 | 2.2 |
| 5 | 1.85 | -641 | 4525 | 8.04 | 8.04 | 91.0 | 77.7 | 6.6 |

Kontrolli ne prerje

| Nº | X | V | τ _c | A _{sw} |
|----|------|-------|----------------|-----------------|
| 1 | 0.15 | 394 | 0.17 | 0.00 |
| 2 | 0.56 | 1155 | 0.50 | 0.00 |
| 3 | 1.00 | -124 | -0.08 | 0.00 |
| 4 | 1.44 | -1271 | -0.60 | 0.00 |
| 5 | 1.85 | 42 | 0.02 | 0.00 |
| 5 | 1.53 | 20 | 0.02 | 0.00 |

Kontrolli i seksionit - themeli [Kombinimi n° 3 – Sforcime te lejuara]

Baza e seksionit $B = 100 \text{ cm}$

Lartesia e seksionit $H = 30.00 \text{ cm}$

Kontrolli nga momenti perkules

| Nº | X | M | N | A _{fi} | A _{fs} | σ _{fs} | σ _{fi} | σ _c |
|----|------|------|------|-----------------|-----------------|-----------------|-----------------|----------------|
| 1 | 0.15 | 641 | 4518 | 8.04 | 8.04 | 77.7 | 91.3 | 6.6 |
| 2 | 0.56 | -398 | 2613 | 8.04 | 8.04 | 63.8 | 47.9 | 4.1 |
| 3 | 1.00 | -624 | 2043 | 8.04 | 8.04 | 197.1 | 67.9 | 6.7 |
| 4 | 1.44 | -190 | 2991 | 8.04 | 8.04 | 0.3 | 27.2 | 2.0 |
| 5 | 1.85 | 594 | 4218 | 8.04 | 8.04 | 72.1 | 83.5 | 6.1 |

Kontrolli ne prerje

| Nº | X | V | τ _c | A _{sw} |
|----|------|-------|----------------|-----------------|
| 1 | 0.15 | -264 | -0.11 | 0.00 |
| 2 | 0.56 | -1122 | -0.53 | 0.00 |
| 3 | 1.00 | 369 | 0.16 | 0.00 |
| 4 | 1.44 | 1433 | 0.62 | 0.00 |
| 5 | 1.85 | -187 | -0.08 | 0.00 |

Kontrolli i seksionit - soleta [Kombinimi n° 3 – Sforcime te lejuara]

Baza e seksionit $B = 100 \text{ cm}$
Lartesia e seksionit $H = 30.00 \text{ cm}$

Kontrolli nga momenti perkules

| Nº | X | M | N | A _{fi} | A _{fs} | σ _{fs} | σ _{fi} | σ _c |
|----|------|------|------|-----------------|-----------------|-----------------|-----------------|----------------|
| 1 | 0.15 | -641 | 4525 | 8.04 | 8.04 | 91.0 | 77.7 | 6.6 |
| 2 | 0.56 | 221 | 2097 | 8.04 | 8.04 | 27.5 | 15.9 | 2.2 |
| 3 | 1.00 | 594 | 1265 | 8.04 | 8.04 | 60.4 | 224.8 | 6.4 |
| 4 | 1.44 | 349 | 1909 | 8.04 | 8.04 | 41.2 | 72.5 | 3.7 |
| 5 | 1.85 | -594 | 4203 | 8.04 | 8.04 | 84.0 | 72.1 | 6.1 |

Kontrolli ne prerje

| Nº | X | V | τ _c | A _{sw} |
|----|------|-------|----------------|-----------------|
| 1 | 0.15 | -42 | -0.02 | 0.00 |
| 2 | 0.56 | 1375 | 0.60 | 0.00 |
| 3 | 1.00 | 187 | 0.08 | 0.00 |
| 4 | 1.44 | -1063 | -0.50 | 0.00 |
| 5 | 1.85 | -394 | -0.17 | 0.00 |
| 5 | 1.53 | -282 | -0.28 | 0.00 |

Zhvendosjet nyjore

Zhvendosjet ne themel

| X [m] | u _{xmin} [cm] | u _{xmax} [cm] | u _{ymin} [cm] | u _{ymax} [cm] |
|-------|------------------------|------------------------|------------------------|------------------------|
| 0.15 | -0.0410 | 0.0369 | 0.1117 | 0.1579 |
| 0.56 | -0.0189 | 0.0185 | 0.1213 | 0.1447 |
| 1.00 | -0.0155 | 0.0155 | 0.1320 | 0.1321 |
| 1.44 | -0.0185 | 0.0189 | 0.1213 | 0.1447 |
| 1.85 | -0.0369 | 0.0410 | 0.1117 | 0.1579 |

Zhvendosjet ne solete

| X [m] | u _{xmin} [cm] | u _{xmax} [cm] | u _{ymin} [cm] | u _{ymax} [cm] |
|-------|------------------------|------------------------|------------------------|------------------------|
| 0.15 | -0.0410 | 0.0369 | 0.1117 | 0.1579 |
| 0.56 | -0.0593 | 0.0589 | 0.1248 | 0.1483 |
| 1.00 | -0.0624 | 0.0624 | 0.1374 | 0.1377 |
| 1.44 | -0.0589 | 0.0593 | 0.1248 | 0.1483 |
| 1.85 | -0.0369 | 0.0410 | 0.1117 | 0.1579 |

Forcat e brendshme nyjore

Forcat e brendshme ne themel

| X [m] | M _{min} [kgm] | M _{max} [kgm] | V _{min} [kg] | V _{max} [kg] | N _{min} [kg] | N _{max} [kg] |
|-------|------------------------|------------------------|-----------------------|-----------------------|-----------------------|-----------------------|
| 0.15 | -662 | -594 | -264 | 187 | 4218 | 4518 |
| 0.56 | 190 | 398 | -1403 | -1122 | 2448 | 2810 |
| 1.00 | 624 | 686 | -194 | 369 | 1684 | 2043 |
| 1.44 | 190 | 398 | 1222 | 1483 | 2641 | 2991 |
| 1.85 | -662 | -594 | -187 | 264 | 4218 | 4518 |

Forcat e brendshme ne solete

| X [m] | M _{min} [kgm] | M _{max} [kgm] | V _{min} [kg] | V _{max} [kg] | N _{min} [kg] | N _{max} [kg] |
|-------|------------------------|------------------------|-----------------------|-----------------------|-----------------------|-----------------------|
| 0.15 | -662 | -594 | -42 | 394 | 4203 | 4525 |
| 0.56 | 221 | 349 | 1155 | 1375 | 1836 | 2097 |
| 1.00 | 594 | 637 | -124 | 187 | 1081 | 1272 |
| 1.44 | 221 | 349 | -1271 | -1063 | 1900 | 2162 |
| 1.85 | -662 | -594 | -394 | 42 | 4203 | 4525 |

Sforcimet e dherave

Sforcimet ne dherat e themelit

| X [m] | $\sigma_{t\min}$ [kg/cm ²] | $\sigma_{t\max}$ [kg/cm ²] |
|-------|--|--|
| 0.15 | 0.56 | 0.79 |
| 0.56 | 0.61 | 0.72 |
| 1.00 | 0.66 | 0.66 |
| 1.44 | 0.61 | 0.72 |
| 1.85 | 0.56 | 0.79 |

Kontrollet

Kontrolli ne seksionin e themelit

Baza e seksionit B = 100 cm
 Lartesia e seksionit H = 30.00 cm

| X | A _{fi} | A _{fs} | σ_{fs} | σ_{fi} | σ_c |
|------|-----------------|-----------------|---------------|---------------|------------|
| 0.15 | 8.04 | 8.04 | 6.86 | 105.47 | 79.77 |
| 0.56 | 8.04 | 8.04 | 4.13 | 47.91 | 63.84 |
| 1.00 | 8.04 | 8.04 | 7.41 | 71.30 | 247.41 |
| 1.44 | 8.04 | 8.04 | 4.09 | 48.22 | 57.29 |
| 1.85 | 8.04 | 8.04 | 6.86 | 105.47 | 79.77 |

| X | τ_c | A _{sw} |
|------|----------|-----------------|
| 0.15 | -0.1 | 0.00 |

| | | |
|------|------|------|
| 0.56 | -0.6 | 0.00 |
| 1.00 | 0.2 | 0.00 |
| 1.44 | 0.6 | 0.00 |
| 1.85 | 0.1 | 0.00 |

Kontrolli ne seksionin e soletes

Baza e seksionit B = 100 cm
 Lartesia e seksionit H = 30.00 cm

| X | A _{fi} | A _{fs} | σ _c | σ _{fi} | σ _{fs} |
|------|-----------------|-----------------|----------------|-----------------|-----------------|
| 0.15 | 8.04 | 8.04 | 6.86 | 79.76 | 105.67 |
| 0.56 | 8.04 | 8.04 | 3.70 | 74.93 | 41.03 |
| 1.00 | 8.04 | 8.04 | 6.85 | 257.05 | 62.82 |
| 1.44 | 8.04 | 8.04 | 3.69 | 72.46 | 41.19 |
| 1.85 | 8.04 | 8.04 | 6.86 | 79.76 | 105.67 |

| X | τ _c | A _{sw} |
|------|----------------|-----------------|
| 0.15 | 0.2 | 0.00 |
| 0.56 | 0.6 | 0.00 |
| 1.00 | 0.1 | 0.00 |
| 1.44 | -0.6 | 0.00 |
| 1.85 | -0.2 | 0.00 |

3.2.0 LLOGARITJA E MUREVE MBAJTES

HYRJE

Nga ana e konsulentit u shqyrtuan disa variante per ndertimin e trasese.

Por varianti me i mire dhe me ekonomik mbeti ai per gjate lumit te Kucit. Kjo per disa arsyet sic jane shkurtimi i gjatesis totale te rruges, ulja e kostos se ndertimit, shfrytezimi i pjerresis gjatesore te shtrati, shfrytezimi i materialit lumor per trasen e rruges etj.

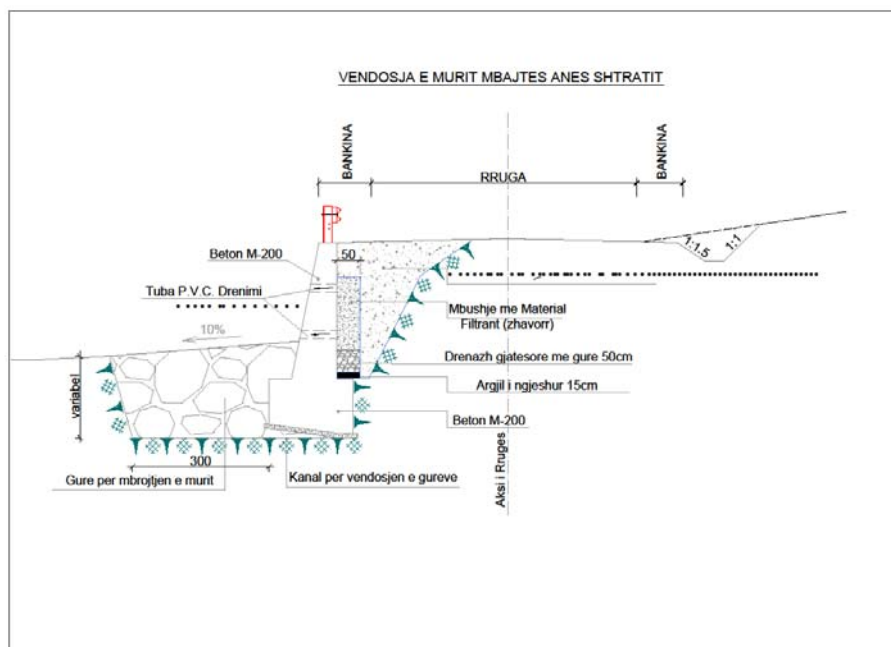
Ndertimi i ketij varianti per gjate shtrati te lumit kerkoi nevojen e projektimit te disa mureve mbajtes per te mbrojtur trasen nga prurjet e tij.

- Muret jane projektuar masiv me beton te M-200.
- Muret jane projektuar 1.7ton/m²
- Mbushja prapa murit te behet me material germimi me kend ferkimi te brendshem $\Phi > 35^\circ$
- Vrimat e kullimit te vendosen ne forme shahu cdo 2m gjatesi
- Ne cdo 10m muri nderpritet me fuge diletacioni

Lartesit e mureve u percaktuan nga studimi I detajuar hidrologjik I cili u krye nga specialisti duke dhene kuotat e niveleve maksimale te ujit.

Gjithashtu ne themellet e murit u projektua nje kanal ne te gjithe gjatesin e tij me nje gjeresi rrreth 3m i cili te mbushet me gure masive te dimensioneve 80-100cm.

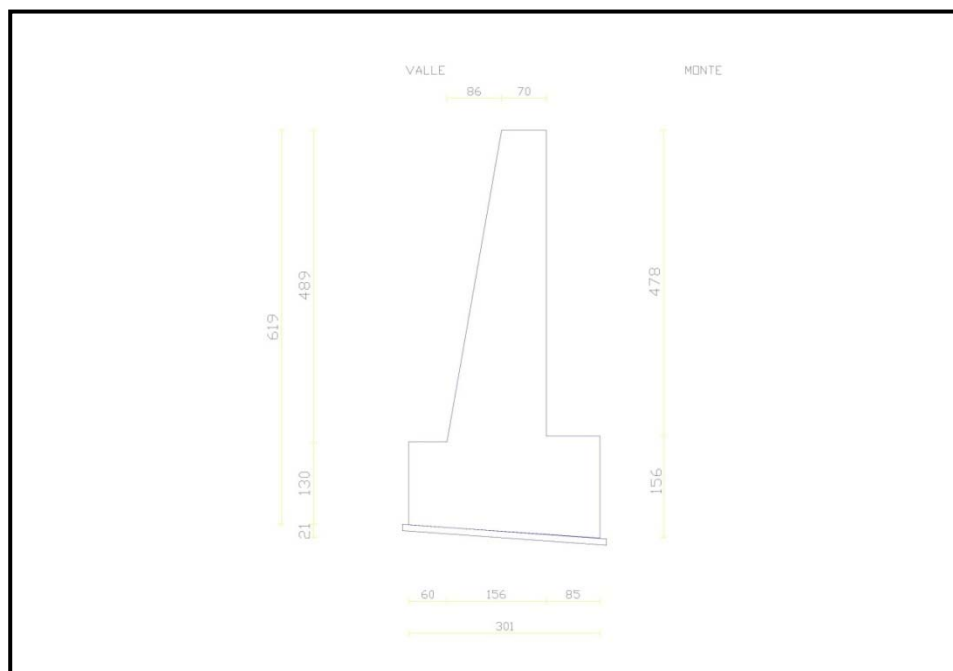
Ketu kemi te bejme me nje mbrojtje elasitke e cila eshte mjaft efikase dhe ekonomike gjithashtu. Guret e medhenj masive bejne te mundur mbrojtjen e themelit te murit nga gryerjet e shtratit i cili ne periudhat e rreshjeve behet mjaft agresive dhe i rezikshem.



➤ Llogaritja e Murit Mbajtes H = 6.45m

1. Gjeometria e murit dhe themelit te tij

| | | |
|-----|--|-------------------|
| 2. | Pershkrim | Mur konsol betoni |
| 3. | Lartesia e murit | 4.9 [m] |
| 4. | Trashesia ne pjesen e siperme | 0.70 [m] |
| 5. | Trashesia ne pjesen e bashkimit te murit me themelin | 1.56 [m] |
| 6. | Pjerresia e jashtme e murit | 10.00 [°] |
| 7. | Pjerresia e brendshme e murit | 0.00 [°] |
| 8. | Gjatesia e murit | 25.00 [m] |
| 9. | <u>Themeli</u> | |
| 10. | Gjatesia e konsolit te jashtem | 0.6 [m] |
| 11. | Gjatesia e konsolit te brendeshem | 0.85 [m] |
| 12. | Gjatesia totale e themelit | 3.01 [m] |
| 13. | Pjerresia e themelit | 4.00 [°] |
| 14. | Trashesia e pjeses se jashte te themelit | 1.30 [m] |
| 15. | Trashesia e pjeses se jashtem bashkuese me murin | 1.33 [m] |
| 16. | Trashesia e pjeses se brendshme bashkuese me murin | 1.56 [m] |
| 17. | Trashesia e pjeses se brendshme te themelit | 1.60 [m] |
| 18. | Trashesia e shtreses se betonit te varfer | 0.10 [m] |



✚ Materialet e perdorur per ndertim

Betoni

| | |
|--|---------------------------------|
| Pesha volumore | 2500.0 [kg/mc] |
| Klasa e betonit | Rck 250 |
| Rezistenca ne shtypje R_{bk} | 250.0 [kg/cm ²] |
| Moduli I deformimit E | 284604.99 [kg/cm ²] |
| Sforcimi I lejuar ne shtypje σ_c | 85.0 [kg/cm ²] |
| Sforcimi tangencial i lejuar i betonit τ_{ct} | 5.3 [kg/cm ²] |

| | |
|--|------------------------------|
| Sforcimi tangencial I lejuar τ_{c1} | 16.9 [kg/cm ²] |
| <i>Armatura</i> | |
| Tipi | FeB44K |
| Sforcimi i lejuar σ_{fa} | 2600.0 [kg/cm ²] |
| Sforcimi i lejuar i epjes σ_{fa} | 4400.0 [kg/cm ²] |

Profili gjeometrik I dherave ne anen mbajtese te murit

Simbolet dhe sistemi I perdonur

(Sistemi I referuar me origjine ne majen e murit, abshisa X pozitive ne anen mbajtese te murit, Ordinata Y positive ne drejtimin lart)

N Numri I pikave

X Abshisa e shprehur ne [m]

Y Ordinata e shprehur ne [m]

A Pjerresia ne [°]

| N | X | Y | A |
|---|-------|------|-------|
| 1 | 10.96 | 0.70 | 3.68 |
| 2 | 13.00 | 0.70 | 0.00 |
| 3 | 22.00 | 4.56 | 23.19 |

Pershkrimi I dherave

Simbolet

| | |
|-------------|---|
| Nr. | Indeksi |
| Description | pershkrimi |
| γ | Pesha volumore e dheut ne [kg/m ³] |
| γ_s | Pesha specifike e dheut ne [kg/m ³] |
| ϕ | Kendi I ferkimit te brendshem I dheut [°] |
| δ | Kendi I ferkimit dhe-mur ne [°] |
| c | kohesion ne [kg/cm ²] |
| c_a | Adezioni dhe-mur ne [kg/cm ²] |

| Peshkrimi | γ | γ_s | ϕ | δ | c | c_a |
|--------------------|----------|------------|--------|----------|--------|-------|
| mbushje, zhavorr | 1800 | 2000 | 30.00 | 0.00 | 0.000 | 0.000 |
| gelqerore, themeli | 2360 | 3200 | 30.00 | 20.00 | 45.000 | 0.000 |
| materiali drenant | 1800 | 2000 | 30.00 | 0.00 | 0.000 | 0.000 |

Stratigrafia

Simboli

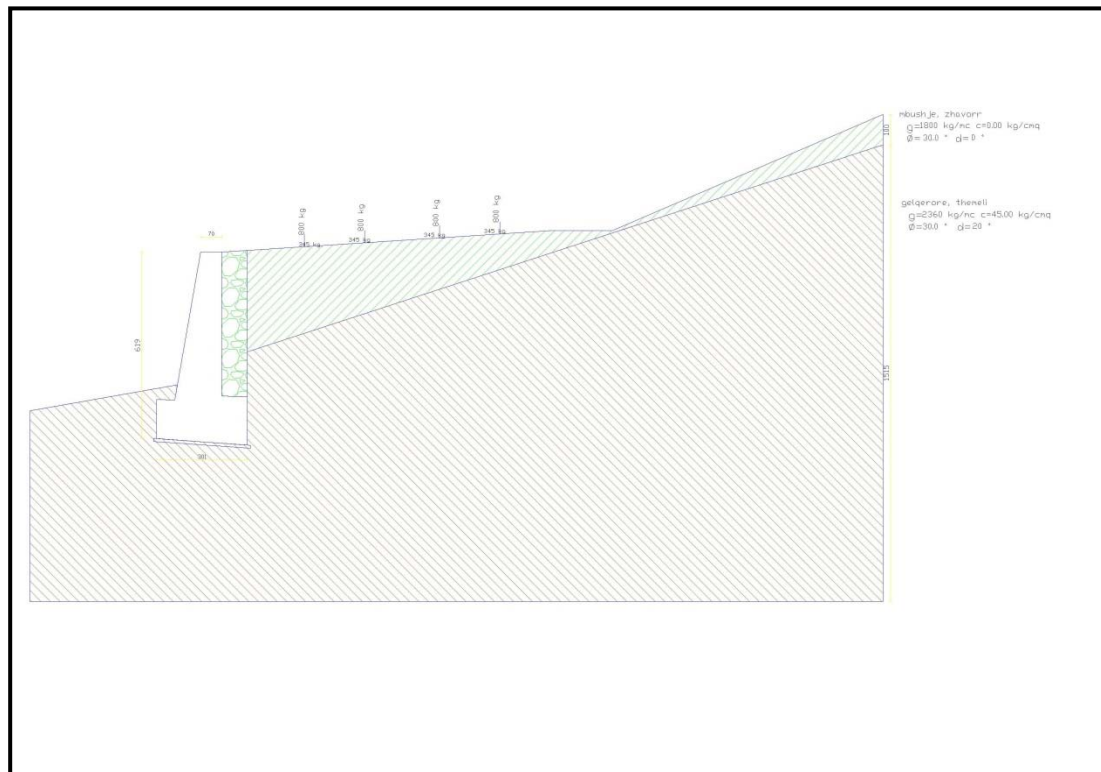
| | |
|----|--|
| N | Indeksi |
| H | Trashesia e shtreses ne [m] |
| a | Pjerresia ne [°] |
| Kw | Koeficenti I shtangesise(horizontal) ne Kg/cm ² /cm |

Ks Koeficenti I goditjes
Soil Lloji I dheut

| Nr. | H | a | Kw | Ks | Soil |
|-----|------|-------|--------|------|--------------------|
| 1 | 3.59 | 18.00 | 0.00 | 0.00 | mbushje, zhavorr |
| 2 | 8.00 | 0.00 | 649.21 | 0.00 | gelqerore, themeli |
| 3 | 1.00 | 0.00 | 0.00 | 0.00 | materiali drenant |

Mbushje mbrapa murit (drenazh)

mbushje, zhavorr



Kushtet e ngarkimit

Simbolet dhe shenjat e perdonura

Ngarkesa vertikale positive ne drejtimin poshte.

Ngarkesat horizontale positive ne drejtimin majtas.

Momenti pozitiv ne krahun orar.

X Abshisa e ngarkeses se perqendruar [m]

F_x Komponentja horizontale e ngarkeses se perqendruar ne [kg]

F_y Komponentja vertikale e ngarkeses se perqendruar ne [kg]

M Momenti [kgm]

X_i Abshisa e fillimit te ngarkeses se shperndare [m]

X_f Abshisa e mbarimit te ngarkeses se shperndare [m]

Q_i Intesiteti I ngarkeses ne $x=X_i$ [kg/m]

Q_f Intesiteti I ngarkeses ne $x=X_f$ in [kg/m]

D / C Tipi I ngarkeses : D=e shperndare C=e perqendruar

Kushti n° 1 (ngarkesa makina)

C Profile $X=2.75$ $F_x=345.00$ $F_y=800.00$

| | | | | |
|---|---------|---------------|-----------------------------|-----------------------------|
| C | Profile | X=4.75 | F_x=345.00 | F_y=800.00 |
| C | Profile | X=7.25 | F_x=345.00 | F_y=800.00 |
| C | Profile | X=9.25 | F_x=345.00 | F_y=800.00 |

Pershkrimi I kombinimit te ngarkesave

Simbolet

C Faktori I pjesmarjes ne kombinim

Kombinimi n° 1 Sforcim i lejuar - Sizmika

| | C |
|------------------|----------|
| Pesha vetiake | 1.00 |
| Presioni I dheut | 1.00 |
| ngarkesa makina | 1.00 |

Kombinimi n° 2 Sforcim i lejuar

| | C |
|------------------|----------|
| Pesha vetiake | 1.00 |
| Presioni I dheut | 1.00 |

Metodat e llogaritjes dhe verifikimet

Sistemi kordinativ :

Origjina t ekoka e murit (ne anen mbajtese)

X abshisa (shprehur ne [m]) pozitive ne anen mbajtese te murit

Y ordinate (shprehur ne [m]) pozitive ne drejtimi larte

Forca horizontale jane positive nqs veprojne nga ana mbajtese ne drejtimin tjeter

Forca horizontale jane positive nqs veprojne nga larte poshte

Llogaritja eshte kryer per 1m gjeresi

Tipi I analizes

Llogaritja e presioneve
Llogaritja e ngarkeses limit
Ekilibri I pergjithshem
Llogaritja e presioneve per

Metoda e Culmann
Metoda e Meyerhof
Metoda e Fellenius
presion aktive

Sizmika

| | |
|--|--|
| Koeficenti I inesitetit sizmik (perqindje) Diagrama e shteses nga sizmika | 7.00 Trekendore me vlere me te ulet |
|--|--|

| | |
|--|------------------|
| pjesmarja e presionit pasive (perqindje) Gjatesia e murit | 0.0 25.00 [m] |
|--|------------------|

Pesha e murit 24611.13 [kg]
Kufiri I murit X=-0.60 Y=-3.99

Diagrama e presionit

| | | |
|---|----------|----------|
| Pika me e ulet (Siperfaqja) | X = 0.85 | Y = -6.4 |
| Pika me e larte (Siperfaqja) | X = 0.85 | Y = 0.05 |
| Lartesia | 6.45 [m] | |
| Pjerresia (duke iu referuar drejtimit vertikal) | 0.00 [°] | |

KOMBINIMI n° 1

| | | |
|--|--------------|---------------|
| Vlera e presionit statik | 4344.13 | [kg] |
| Komponetja horizontale e presionit statik | 4344.13 | [kg] |
| Komponetja vertikale e presionit statik | 0.00 | [kg] |
| Pika e zbatimit te presionit | X = 0.85 [m] | Y = -2.12[m] |
| Inklinimi | 0.00 [°] | |
| Pjerresia ne siperfaqen rreshqitese ne kushte statike | 80.61 [°] | |
| Shtesa e presionit nga sizmika | 467.34 | [kg] |
| Pika e zbatimit te shteses | X = 0.43 [m] | Y = -2.38 [m] |
| Inklinimi I siperfaqjes se rreshqitjes ne kushtet e sizmikes | 80.61 [°] | |
| Pesha e mbushjes mbrapa murit | 7369.13 | [kg] |
| Kufiri I mbushjes | X = 0.43 [m] | Y = -2.38 [m] |
| Inercia e murit | 1722.78 [kg] | |
| Inercia e mbushjes mbrapa murit | 515.84 [kg] | |

Rezultantet

| | | |
|--|------------------|-------|
| Rezultantja e forcave horizontale | 7050.09 | [kg] |
| Rezultantja e forcave vertikale | 31980.26 | [kg] |
| Momenti permbyses | 25326.66 | [kgm] |
| Momenti I ekilibrit | 57695.85 | [kgm] |
| Forca aksiale ne siperfaqjen e themelit | 32394.14 | [kg] |
| Forca tangenciale ne siperfaqjen e themelit | 4802.08 | [kg] |
| Jashteqendresia (referuar kufirit te themelit) | 0.51 | [m] |
| Rezultantja e ngarkesave ne nivelin e themelit | 32748.14 | [kg] |
| Inklinimi I rezultantes s enagrkesave | 8.43 [°] | |
| Momenti | 16568.03 [kgm] | |
| Ngarkesa limit | 26752712.42 [kg] | |

Sforcimet ne dhera

| | | |
|---------------------------------------|--------|-----------------------|
| Gjeresia efektive e themelit | 3.00 | [m] |
| Sforcimi I dheut ne piken e jashtme | 2.1613 | [kg/cm ²] |
| Sforcimi I dheut ne piken e brendshme | 0.0000 | [kg/cm ²] |

Faktoret e rezistences ne shtypje

| | |
|--------------------|--------------------|
| $N_c = 30.14$ | $N'_c = 26.74$ |
| $N_q = 18.40$ | $N'_q = 14.93$ |
| $N_\gamma = 15.67$ | $N'_\gamma = 5.67$ |

Koeficentet e sigurise

| | |
|---|--------|
| Koeficenti I sigurise ne permbyjsje | 2.28 |
| Koeficenti I sigurise ne rreshqitje | 2.46 |
| Koeficenti I sigurise I ngarkeses limit | 825.85 |
| Koeficenti I per gjithshem I sigurise | 99.99 |

Stabiliteti

Kombinimi n° 1

X abshisa positive ne anen mbajtese

Y ordinate positive ne drejtimin larte

Origjina ne majen e murit

W masa rreshqite ne [kg]

α kendi midis bazes se rreshqitjes dhe drejtimit horizontal [°] (positive kunder drejtimit orar)

ϕ kendi I ferkimit te dheut per gjate bazes se rreshqitjes

c kohezioni I dheut per gjate bazes se rreshqitjes ne [kg/cm²]

b gjeresia e bazes se rreshqitjes [m]

u presioni neutral per gjate bazes se rreshqitjes ne [kg/cm²]

Metoda Fellenius

Numri I rratheve te analizuar 36

Numri I blloqeve 25

Rrethi kritik

Kordinatat e qendres $X[m] = -3.46$ $Y[m] = 4.44$

Rrezja $R[m] = 11.64$

Abshisa ne pjesen e jashtme te murit $X_i[m] = -9.14$

Abshisa ne pjesen e brendshme te murit $X_s[m] = 7.53$

Gjeresia e ases rreshqite $dx[m] = 0.67$

Koeficenti I sigurise $C = 99.99$

Blloqet jane numeruar nga ana e brendeshme ne te jashtme

Karakteristikat e blloqeve

| Bllok | W | $\alpha(^{\circ})$ | $W \sin \alpha$ | $b / \cos \alpha$ | ϕ | c | u |
|-------|---------|--------------------|-----------------|-------------------|--------|--------|-------|
| 1 | 1668.98 | 65.91 | 1523.58 | 1.63 | 30.00 | 0.000 | 0.000 |
| 2 | 2437.64 | 58.97 | 2088.76 | 1.29 | 30.00 | 27.105 | 0.000 |
| 3 | 3848.66 | 53.07 | 3076.30 | 1.11 | 30.00 | 45.000 | 0.000 |
| 4 | 4994.56 | 47.90 | 3705.66 | 0.99 | 30.00 | 45.000 | 0.000 |
| 5 | 6735.42 | 43.21 | 4611.36 | 0.91 | 30.00 | 45.000 | 0.000 |
| 6 | 6718.43 | 38.86 | 4215.08 | 0.86 | 30.00 | 45.000 | 0.000 |
| 7 | 7372.77 | 34.76 | 4203.69 | 0.81 | 30.00 | 45.000 | 0.000 |
| 8 | 8717.94 | 30.86 | 4471.90 | 0.78 | 30.00 | 45.000 | 0.000 |

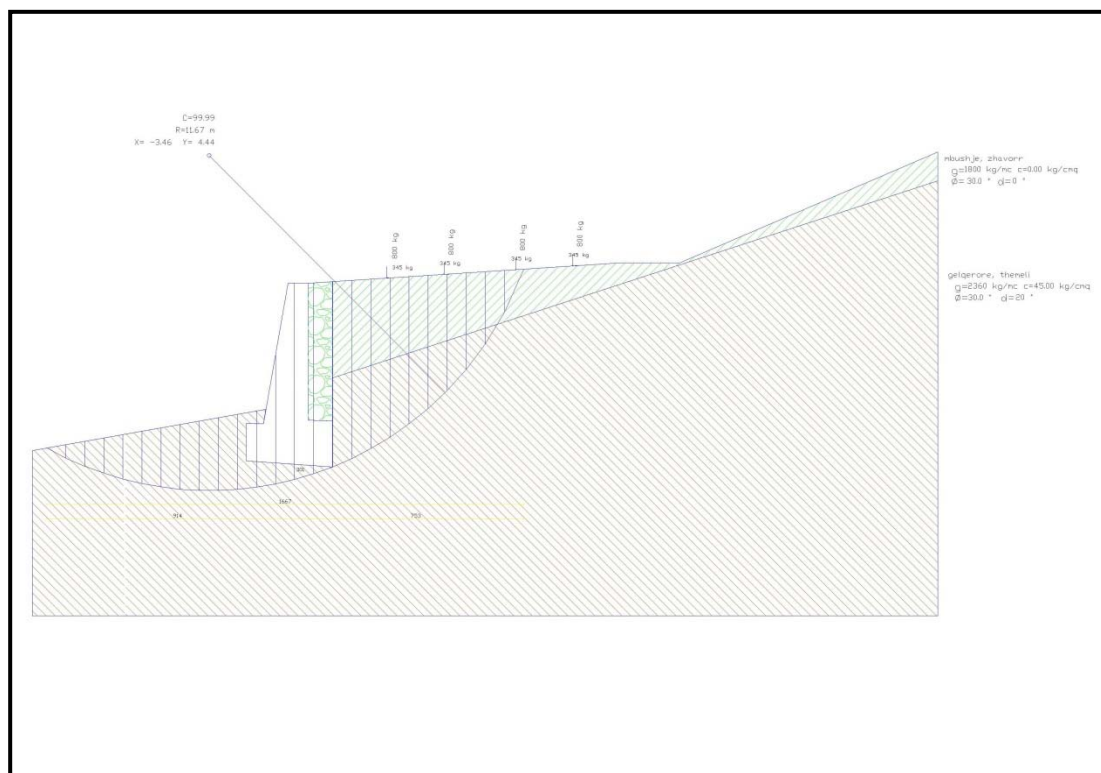
| | | | | | | | |
|----|----------|--------|---------|------|-------|--------|-------|
| 9 | 8367.63 | 27.11 | 3813.60 | 0.75 | 30.00 | 45.000 | 0.000 |
| 10 | 8731.83 | 23.49 | 3480.21 | 0.73 | 30.00 | 45.000 | 0.000 |
| 11 | 8630.61 | 19.96 | 2946.33 | 0.71 | 30.00 | 45.000 | 0.000 |
| 12 | 10471.52 | 16.51 | 2976.01 | 0.70 | 30.00 | 45.000 | 0.000 |
| 13 | 9960.15 | 13.12 | 2261.19 | 0.68 | 30.00 | 45.000 | 0.000 |
| 14 | 5047.54 | 9.78 | 857.31 | 0.68 | 30.00 | 45.000 | 0.000 |
| 15 | 4197.21 | 6.47 | 472.92 | 0.67 | 30.00 | 45.000 | 0.000 |
| 16 | 4035.84 | 3.18 | 224.00 | 0.67 | 30.00 | 45.000 | 0.000 |
| 17 | 3878.63 | -0.10 | -6.48 | 0.67 | 30.00 | 45.000 | 0.000 |
| 18 | 3637.77 | -3.37 | -214.06 | 0.67 | 30.00 | 45.000 | 0.000 |
| 19 | 3323.59 | -6.66 | -385.59 | 0.67 | 30.00 | 45.000 | 0.000 |
| 20 | 2948.09 | -9.97 | -510.58 | 0.68 | 30.00 | 45.000 | 0.000 |
| 21 | 2509.69 | -13.32 | -578.14 | 0.69 | 30.00 | 45.000 | 0.000 |
| 22 | 2006.03 | -16.71 | -576.82 | 0.70 | 30.00 | 45.000 | 0.000 |
| 23 | 1433.92 | -20.16 | -494.31 | 0.71 | 30.00 | 45.000 | 0.000 |
| 24 | 813.23 | -23.70 | -326.84 | 0.73 | 30.00 | 0.000 | 0.000 |
| 25 | 266.39 | -27.33 | -122.30 | 0.75 | 30.00 | 0.000 | 0.000 |

$$\Sigma W_i = 122754.07 \text{ [kg]}$$

$$\Sigma W_i \sin \alpha_i = 41712.78 \text{ [kg]}$$

$$\Sigma W_i \cos \alpha_i \tan \phi_i = 62451.47 \text{ [kg]}$$

$$\Sigma c_i b_i / \cos \alpha_i = 7468944.51 \text{ [kg]}$$



Forcat e brendshme ne mur

Kombinimi n° 1

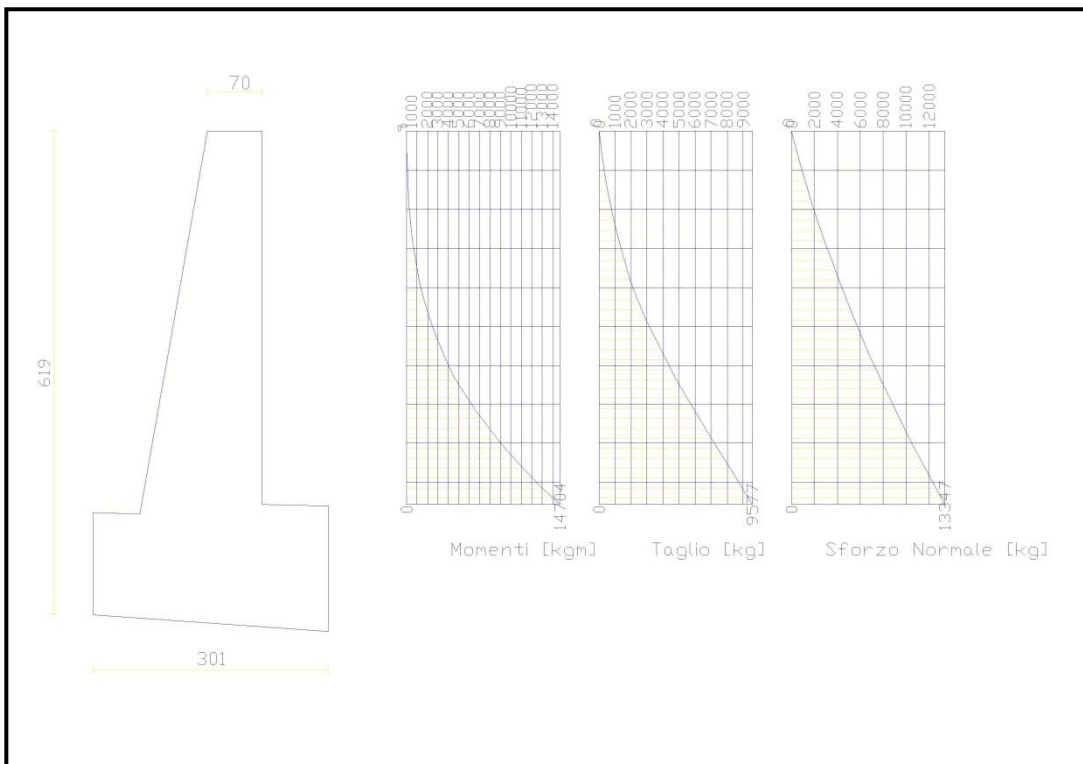
Y ordinate (ne m) pozitive ne drejtimin poshte, origjina ne majen e murit

Momenti positive nqs terhiqen fibrat e jashtme ne kgm

Forca aksiale (nqs eshte shtypese), ne kg

Forca prerezse (positive nga ana mbajtese e murit), ne kg

| Nr. | Y | N | M | T |
|-----|------|----------|----------|---------|
| 1 | 0.00 | 0.00 | 0.00 | 0.00 |
| 2 | 0.24 | 430.65 | 10.71 | 133.11 |
| 3 | 0.48 | 886.22 | 47.73 | 299.20 |
| 4 | 0.72 | 1366.71 | 118.41 | 498.29 |
| 5 | 0.96 | 1872.11 | 230.11 | 730.36 |
| 6 | 1.19 | 2402.44 | 390.18 | 995.68 |
| 7 | 1.43 | 2957.68 | 605.86 | 1291.89 |
| 8 | 1.67 | 3537.83 | 883.57 | 1616.32 |
| 9 | 1.91 | 4142.90 | 1230.12 | 1976.75 |
| 10 | 2.15 | 4772.89 | 1656.69 | 2402.40 |
| 11 | 2.39 | 5427.80 | 2180.68 | 2903.94 |
| 12 | 2.63 | 6107.63 | 2816.46 | 3452.91 |
| 13 | 2.87 | 6812.37 | 3572.96 | 4037.14 |
| 14 | 3.11 | 7542.03 | 4457.53 | 4652.67 |
| 15 | 3.35 | 8296.60 | 5476.76 | 5296.34 |
| 16 | 3.58 | 9076.09 | 6636.49 | 5965.36 |
| 17 | 3.82 | 9880.50 | 7941.95 | 6657.37 |
| 18 | 4.06 | 10709.83 | 9397.88 | 7370.70 |
| 19 | 4.30 | 11564.07 | 11008.65 | 8103.44 |
| 20 | 4.54 | 12443.24 | 12777.56 | 8845.91 |
| 21 | 4.78 | 13347.31 | 14703.68 | 9576.73 |



Forcat e brendeshme ne pjesen e jashtme te themelit

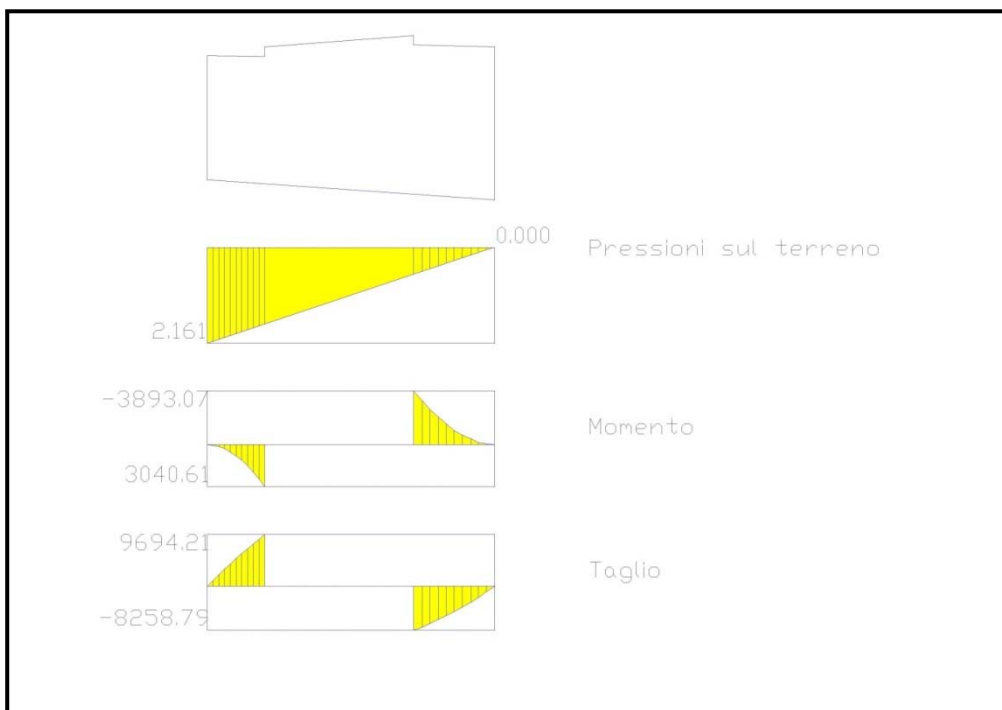
Kombinimi n° 1

X abshisa(ne m) positive ne anen mbajtese me origjine ne pjesen e jashtme te themelit

Momenti eshte positive nqs terhiqen fibrat e poshtme, ne kgm

Forca prerese (pozitive ne drejtimin larte), ne kg

| Nr. | X | M | T |
|-----|------|---------|---------|
| 1 | 0.00 | 0.00 | 0.00 |
| 2 | 0.06 | 32.79 | 1088.53 |
| 3 | 0.12 | 130.09 | 2150.59 |
| 4 | 0.18 | 290.33 | 3186.19 |
| 5 | 0.24 | 511.91 | 4195.31 |
| 6 | 0.30 | 793.24 | 5177.97 |
| 7 | 0.36 | 1132.73 | 6134.15 |
| 8 | 0.42 | 1528.81 | 7063.87 |
| 9 | 0.48 | 1979.87 | 7967.12 |
| 10 | 0.54 | 2484.33 | 8843.90 |
| 11 | 0.60 | 3040.61 | 9694.21 |



Forcat e brendshme ne pjesen e brendeshmete themelit

Kombinimi n° 1

X abshisa(ne m) positive ne anen mbajtese me origjine ne pjesen e jashtme te themelit
 Momenti eshte positive nqs terhiqen fibrat e poshtme, ne kgm
 Forca prerese (pozitive ne drejtimin larte), ne kg

| Nr. | X | M | T |
|-----|------|----------|----------|
| 1 | 0.00 | 0.00 | 0.00 |
| 2 | 0.09 | -45.70 | -1067.97 |
| 3 | 0.17 | -180.04 | -2083.76 |
| 4 | 0.26 | -398.41 | -3045.35 |
| 5 | 0.34 | -696.21 | -3952.73 |
| 6 | 0.43 | -1068.83 | -4805.91 |
| 7 | 0.51 | -1511.68 | -5604.89 |
| 8 | 0.59 | -2020.13 | -6349.67 |
| 9 | 0.68 | -2589.59 | -7040.24 |
| 10 | 0.77 | -3215.44 | -7676.62 |
| 11 | 0.85 | -3893.07 | -8258.79 |

Stabiliteti

Kombinimi n° 2

X abshisa positive ne anen mbajtese
 Y ordinate positive ne drejtimin larte
 Origjina ne majen e murit

- W** masa rreshqite ne [kg]
 α kendi midis bazes se rreshqitjes dhe drejtimit horizontal [$^{\circ}$] (positive kunder drejtimit orar)
 ϕ kendi I ferkimit te dhet per gjate bazes se rreshqitjes
c kohezioni I dhet per gjate bazes se rreshqitjes ne [kg/cm 2]
b gjerësia e bazes se rreshqitjes [m]
u presioni neutral per gjate bazes se rreshqitjes ne [kg/cm 2]

Metoda Fellenius

Numri I rrathive te analizuar 36

Numri I blloqeve 25

Rrethi kritik

Kordinatat e qendres X[m]= -4.3 Y[m]= 2.45

Rrezja R[m]= 11.74

Abshisa ne pjesen e jashtme te murit Xi[m]= -11.29

Abshisa ne pjesen e brendshme te murit Xs[m]= 7.29

Gjerësia e ases rreshqite ne dx[m]= 0.74

Koeficent i sigurise C= 99.99

Blloqet jane numeruar nga ana e brendeshme ne te jashtme

Karakteristikat e blloqeve

| Bllok | W | $\alpha(^{\circ})$ | Wsinaα | b/cosα | ϕ | c | u |
|--------------|----------|--------------------------------------|---------------------------------|---------------------------------|--------------------------|----------|----------|
| 1 | 1654.61 | 73.63 | 1587.52 | 2.63 | 30.00 | 0.000 | 0.000 |
| 2 | 4294.13 | 63.35 | 3837.95 | 1.65 | 30.00 | 15.716 | 0.000 |
| 3 | 6257.01 | 56.06 | 5191.19 | 1.33 | 30.00 | 45.000 | 0.000 |
| 4 | 7801.98 | 50.00 | 5976.63 | 1.15 | 30.00 | 45.000 | 0.000 |
| 5 | 9022.94 | 44.64 | 6339.44 | 1.04 | 30.00 | 45.000 | 0.000 |
| 6 | 10009.70 | 39.73 | 6398.42 | 0.96 | 30.00 | 45.000 | 0.000 |
| 7 | 10812.68 | 35.16 | 6226.99 | 0.91 | 30.00 | 45.000 | 0.000 |
| 8 | 11463.50 | 30.84 | 5876.17 | 0.86 | 30.00 | 45.000 | 0.000 |
| 9 | 11959.89 | 26.70 | 5373.78 | 0.83 | 30.00 | 45.000 | 0.000 |
| 10 | 12935.04 | 22.71 | 4993.52 | 0.80 | 30.00 | 45.000 | 0.000 |
| 11 | 15518.75 | 18.83 | 5009.20 | 0.78 | 30.00 | 45.000 | 0.000 |
| 12 | 10323.16 | 15.04 | 2679.14 | 0.77 | 30.00 | 45.000 | 0.000 |
| 13 | 6458.99 | 11.32 | 1267.74 | 0.76 | 30.00 | 45.000 | 0.000 |
| 14 | 6145.22 | 7.64 | 817.47 | 0.75 | 30.00 | 45.000 | 0.000 |
| 15 | 5744.69 | 4.00 | 400.84 | 0.74 | 30.00 | 45.000 | 0.000 |
| 16 | 5488.78 | 0.37 | 35.84 | 0.74 | 30.00 | 45.000 | 0.000 |
| 17 | 5150.53 | -3.25 | -292.13 | 0.74 | 30.00 | 45.000 | 0.000 |
| 18 | 4729.53 | -6.89 | -567.39 | 0.75 | 30.00 | 45.000 | 0.000 |
| 19 | 4224.38 | -10.56 | -773.97 | 0.75 | 30.00 | 45.000 | 0.000 |
| 20 | 3632.51 | -14.27 | -895.30 | 0.77 | 30.00 | 45.000 | 0.000 |
| 21 | 3057.07 | -18.04 | -946.85 | 0.78 | 30.00 | 0.000 | 0.000 |
| 22 | 2521.60 | -21.90 | -940.52 | 0.80 | 30.00 | 0.000 | 0.000 |
| 23 | 1907.49 | -25.87 | -832.15 | 0.82 | 30.00 | 0.000 | 0.000 |
| 24 | 1206.84 | -29.97 | -602.86 | 0.86 | 30.00 | 0.000 | 0.000 |
| 25 | 409.04 | -34.25 | -230.22 | 0.90 | 30.00 | 0.000 | 0.000 |

$$\Sigma W_i = 162730.08 \text{ [kg]}$$

$$\Sigma W_i \sin\alpha_i = 55930.45 \text{ [kg]}$$

$$\Sigma W_i \cos\alpha_i \tan\phi_i = 81104.17 \text{ [kg]}$$

$$\Sigma c_i b_i / \cos\alpha_i = 7213188.74 \text{ [kg]}$$

Forcat e brendshme ne mur

Kombinimi n° 2

Y ordinate (ne m) pozitive ne drejtimin poshte, origjina ne majen e murit

Momenti positive nqs terhiqen fibrat e jashtme ne kgm

Forca aksiale (nqs eshte shtypese), ne kg

Forca prerez (positive nga ana mbajtse e murit), ne kg

| Nr. | Y | N | M | T |
|-----|------|----------|---------|---------|
| 1 | 0.00 | 0.00 | 0.00 | 0.00 |
| 2 | 0.24 | 430.65 | -3.12 | 17.81 |
| 3 | 0.48 | 886.22 | -7.17 | 71.22 |
| 4 | 0.72 | 1366.71 | -4.17 | 160.25 |
| 5 | 0.96 | 1872.11 | 13.86 | 284.90 |
| 6 | 1.19 | 2402.44 | 54.91 | 445.40 |
| 7 | 1.43 | 2957.68 | 126.82 | 639.43 |
| 8 | 1.67 | 3537.83 | 236.66 | 864.26 |
| 9 | 1.91 | 4142.90 | 391.55 | 1122.92 |
| 10 | 2.15 | 4772.89 | 599.33 | 1417.26 |
| 11 | 2.39 | 5427.80 | 867.99 | 1747.29 |
| 12 | 2.63 | 6107.63 | 1205.51 | 2112.96 |
| 13 | 2.87 | 6812.37 | 1619.89 | 2514.27 |
| 14 | 3.11 | 7542.03 | 2119.09 | 2951.21 |
| 15 | 3.35 | 8296.60 | 2711.11 | 3423.77 |
| 16 | 3.58 | 9076.09 | 3403.91 | 3931.96 |
| 17 | 3.82 | 9880.50 | 4205.46 | 4475.76 |
| 18 | 4.06 | 10709.83 | 5123.76 | 5055.18 |
| 19 | 4.30 | 11564.07 | 6166.76 | 5670.15 |
| 20 | 4.54 | 12443.24 | 7342.17 | 6315.89 |
| 21 | 4.78 | 13347.31 | 8654.24 | 6969.67 |

Forcat e brendeshme ne pjesen e jashtme te themelit

Kombinimi n° 2

X abshisa(ne m) positive ne anen mbajtse me origjine ne pjesen e jashtme te themelit

Momenti eshte positive nqs terhiqen fibrat e poshtme, ne kgm

Forca prerez (pozitive ne drejtimin larte), ne kg

| Nr. | X | M | T |
|-----|------|--------|---------|
| 1 | 0.00 | 0.00 | 0.00 |
| 2 | 0.06 | 19.08 | 634.72 |
| 3 | 0.12 | 76.00 | 1261.22 |
| 4 | 0.18 | 170.26 | 1879.48 |

| | | | |
|----|------|---------|---------|
| 5 | 0.24 | 301.38 | 2489.52 |
| 6 | 0.30 | 468.84 | 3091.32 |
| 7 | 0.36 | 672.17 | 3684.89 |
| 8 | 0.42 | 910.86 | 4270.23 |
| 9 | 0.48 | 1184.43 | 4847.35 |
| 10 | 0.54 | 1492.38 | 5416.23 |
| 11 | 0.60 | 1834.22 | 5976.88 |

Forcat e brendshme ne pjesen e brendshme te themelit

Kombinimi n° 1

X abshisa(ne m) positive ne anen mbajtese me origjine ne pjesen e jashtme te themelit
 Momenti eshte positive nqs terhiqen fibrat e poshtme, ne kgm
 Forca prerese (pozitive ne drejtimin larte), ne kg

| Nr. | X | M | T |
|-----|------|----------|----------|
| 1 | 0.00 | 0.00 | 0.00 |
| 2 | 0.09 | -19.09 | -446.20 |
| 3 | 0.17 | -75.35 | -874.79 |
| 4 | 0.26 | -167.30 | -1285.79 |
| 5 | 0.34 | -293.44 | -1679.19 |
| 6 | 0.43 | -452.27 | -2055.00 |
| 7 | 0.51 | -642.29 | -2413.20 |
| 8 | 0.59 | -862.01 | -2753.80 |
| 9 | 0.68 | -1109.94 | -3076.81 |
| 10 | 0.77 | -1384.57 | -3382.21 |
| 11 | 0.85 | -1684.42 | -3670.02 |

3.3.0 LLOGARITJA E URES

TE PERGJITHSHME

- Standartet***

Projekti eshte hartuar sipas kodit European dhe ne perputhje me standartin Italian
si me poshte:

D.M. 9 Janar 1996

“Standartet Teknike per llogaritjen, ekzekutimin dhe provat laboratorike ne strukturat me beton arme te zakonshme, beton arme te paranderur per strukturat metalike”

D.M. 4 Maj 1990

“Azhornimi i Standartit Teknik per projektimin, ekzekutimin dhe provat laboratorike ne urat rrugore”.

D.M. 14 Shkurt 1992

“Standartet Teknike per ekzekutimin e punimeve ne beton arme te zakonshme dhe te paranderur per strukturat metalike”

D.M. 16 Janar 1996

“Standartet Teknike ne lidhje me kriteret per verifikimin e sigurise te punimeve dhe ngarkesat e mbingarkesat”

- Ngarkesat qe veprojne***

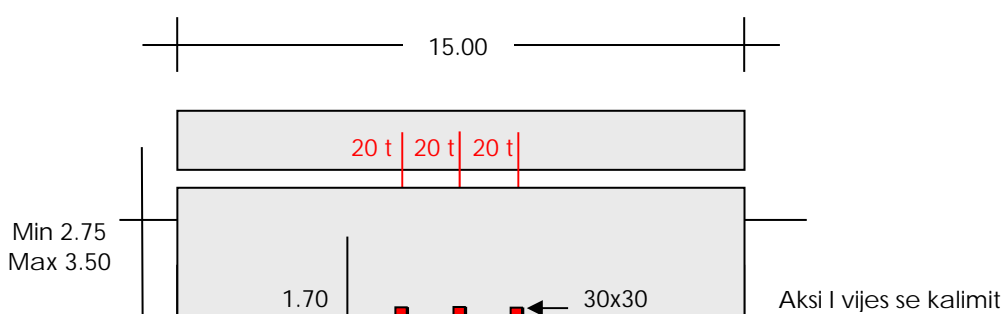
Standartet

Ngarkesa e levizshme (standarti Italian 1990 per kategorine e pare te rrugeve)
q1,a – Ngarkesa e perqendruar

100% vija e pare e kalimit 60 ton (kur jane me shume se 4 vija kalimi, dy mjete 60 ton por jo afer)

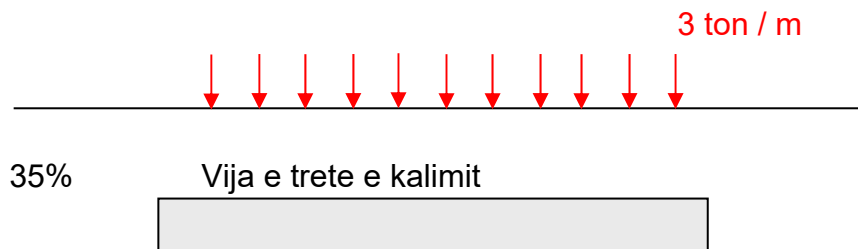
50% vija e dyte e kalimit 30 ton

35% vija e trete e kalimit 21 ton



q1,b – Ngarkesa e levizshme (Jashte ngarkeses se perperqendruar, ne te njejen vije kalimi)

| | |
|-------|-----------------------|
| 100 % | Vija e pare e kalimit |
| 50% | Vija e dyte e kalimi |



q1,c – Ngarkesa e rrotes (Ne elementet dytesore te verifikimit)

$$q_{1,c} = \max 10 \text{ ton} / 30 \times 30 \text{ cm}$$

q1,d – Ngarkesa uniformisht e shperndare per elementet e vecante ose elemente dytesore

$$q_{1,d} = 1 \text{ ton} / 70 \times 70 \text{ cm} \text{ (ekuivalente me } 2 \text{ ton} / \text{m}^2 \text{)}$$

Gjithashtu perdoret per elementet e perafert, mbushjet, muret etj.

q1,e – Turma

$$q_{1,e} = \text{ngarkesa maksimale } 0.400 \text{ ton} / \text{m}^2$$

Ngarkesa dinamike

$$\text{Koeficienti dinamik } \varnothing = 1.4 - (L - 10) / 150$$

L = hapesira e drites

Per soletone dhe elemente dytesore $\varnothing 1.4$

Forca e frenimit

$$q_3 > 1 / 10 \text{ e ngarkeses vertikale maksimale ne secilen vije kalimi}$$

$$q_3 = > 20 \text{ ton}$$

Forca centrifugale

$$q_4 = 30 / R \text{ (t/m)}$$

R = rrezja e kurbes

(kjo force aplikohet 1.0 m mbi shtresen kaluese)

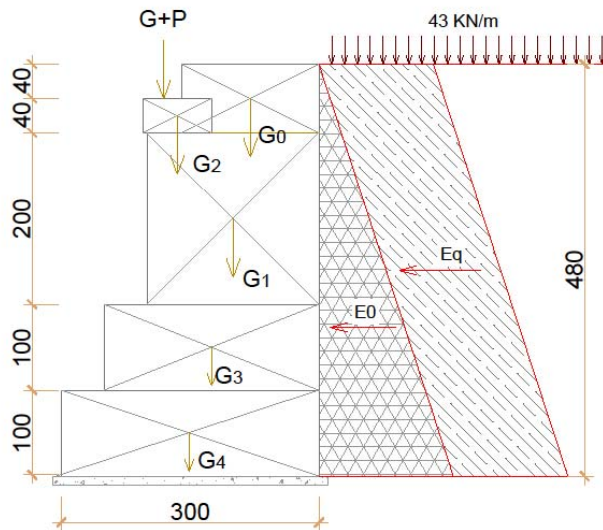
- Per te gjitha veprat e artit jane preqatitur projekte zbatimi te vecanta te shoqeruara edhe me preventivat perkates, si edhe me llogaritjet statike.

- Programet e perdorura jane:
 - a) SAP2000 V14 per llogaritjen e urave
 - b) SAFE V8 per llogaritjen e soletave te urave
 - c) Max 10 (Aztec informatica) per llogaritjen e ballnave
- Per te gjitha objektet betonet e armuar jane pranuar M-300. Per te gjitha stukturat betonarme eshte pranuar armature celiku e markes FeB-44k ose ekuivalente me te.

3.3.1 URE HD-6m Km 7+200

➤ LLOGARITJA E BALLIT TE URES

 **Llogaritja do te behet per 1 ml te ballit :**



Llogaritjet e metejshme jane realizuar nepermjet nje mini-programi , qe ben llogaritjen e ballnave per gjatesine njesi .

Per llogaritjen e ballit kemi keto lloj kombinimesh te ngarkesave :

- 1) Kombinimin baze qe perfshin nje ose disa nga keto ngarkesa : ngarkesa te perhershme , ngarkesen verticale te levizhshme te perkoshme , shtytjen e dheut (prej veprimit te ngarkeses se levizhshme ne prizmin rreshqites)
- 2) Kombinimin shtese , perfshin nje ose disa ngarkesa te kombinimit baze , si dhe nye ose disa nga ngarkesat e tjera qe mbeten , me perjashtim te ngarkesave sizmike dhe te ndertimit.
- 3) Kombinim i vecante , perfshin ngarkesat sizmike ose ngarkesat gjate ndertimit se bashku me ngarkesat e tjera .

Per llogaritjen e ballnes do realizohet :

- 1) Llogaritje ne soliditet te murit dhe themelit
- 2) Ne kontrollin e sforcimeve ne tabanin e ballnes

Per llogaritje eshte e nevojshme te merren parasysh keto ngarkesa :

- ngarkesa nga pesha vetiake
- ngarkesa verticale nga ngarkesat e perkoshme (e levizhshme) nga mjetet levizese dhe turmes
- ngarkesa vertikale nga pesha e mbistrukturies
- ngarkesa horizontale nga pressioni i dheut

- ngarkesa horizontale nga pressioni i dheut nga mjetet levizese
- forca e frenimit (sipas dy shenjave).

Per llogaritje do marrim :

Pesha volumore e ballit $\gamma_b = 25 \text{ kN/m}^3$

Pesha volumore e dheut $\gamma_d h = 18 \text{ kN/m}^2$

Kendi i ferkimit te brendshem 30°

Llogaritja e ngarkesave vertikale .

a) Pesha vetjake e ballit (/1ml) :

| | $G = V * \gamma$ | N |
|-------|--------------------------|--------|
| G_0 | $(0.8 * 1.6 * 1) * 2.5$ | 3.2 t |
| G_1 | $(2.0 * 2.0 * 1) * 2.5$ | 10.0 t |
| G_2 | $(0.40 * 0.8 * 1) * 2.5$ | 0.8 t |
| G_3 | $(1.0 * 2.5 * 1) * 2.5$ | 6.25 t |
| G_4 | $(1.0 * 3.0 * 1) * 2.5$ | 7.50 t |

(programi i merr parasysh ngarkesat e mesiperme nga vete geometria e ballnes)

b) Pesha e mbistrukture :

$$G = 7.6t$$

$$P = 27.67t$$

$$N = G + P = 27.67 + 7.6 = 35.27 t$$

Llogaritja nga forcat horizontale .

$$b = 1ml$$

$$K_a = \operatorname{tg}^2 \left(45 - \frac{\varphi}{2} \right)$$

$$\varphi = 30^\circ$$

$$\gamma = 1.8t / m^3$$

$$h = 5.0m$$

a) Ngarkesat nga dheu :

$$\begin{aligned} E_0 &= \frac{\gamma * h^2}{2} * \operatorname{tg}^2\left(45 - \frac{\varphi}{2}\right) \\ &= \frac{1.8 * 5.0^2}{2} * \operatorname{tg}^2\left(45 - \frac{30}{2}\right) \\ &= 7.5t / ml \end{aligned}$$

b) Ngarkesat nga mjetet e levizshme :

Kendi qe formon plani me i rrezikshem

$$\theta = \left(45 + \frac{\varphi}{2}\right) = 60^\circ$$

Gjejme gjatesine e prizmit te ndikimit pas ballnes

$c = H / \operatorname{tg} \theta = 5 / \operatorname{tg} 60 = 2.88m$, sic shikohet, brenda prizmit mund te futen vetem dy akse nga tre akset me te renduar

Gjejme ngarkesen ekuivalente per S-N e pranuar per nje ml gjatesi muri

$$q_{ek} = \sum P_i / (S) = 4.3 \text{ t/ml}$$

$$E_q = q_{ek} * h * \operatorname{tg}^2\left(45 - \frac{\varphi}{2}\right)$$

(Rezultatet do i marrim nga programmi)

c) Ngarkesat nga forcat e frenimit (per nje korsi kalimi) :

$$F_f = 0.2 * (3 * 10) * 1.4 = 8.4 \text{ ton}$$

 **Momentet nga forcat horizontale .**

Ne trajte parametrike do jepeshin :

- Nga dheu :

$$M_0 = E_0 * \frac{1}{3} * l$$

- Nga mjetet levizese :

$$M_q = E_q * \frac{1}{2} * l$$

- Nga frenimi :

$$M_f = F_f * a$$

Ne vijim jane paraqitur dimensionet e murit (te modeluar), duke marre nje perafrim te seksionit real me ate vijues . Shmangia nga gjemometria reale (dmth shkallezimi ne anen e pasme) do sillte nje shmangje te paperfillshme e cila eshte ne favor te sigurise.

LLOGARITJA E BALLNES SE URES

| Altezza paraghiaia | h1 0,8 | Angolo attrito interno | φ^0 30 | Impalcato | | | | | | | | | | | | | | | | | | | | | | | | |
|---|---------------------|---|-------------------------|-----------------------------|--------|------------|--|--------------------|---------------------|---------------------|--------------------|-----------------|--------------------|----------------|-------------|------------------------|----------------|-------------|--|--------------------|----------------|---|-------------------|----------------|--|-------------------|----------------|----------------------|
| Spessore paraghiaia | s1 0,4 | Ang. attrito terra-muro | δ^0 0 | Ni 352 dN 0,5 | | | | | | | | | | | | | | | | | | | | | | | | |
| Inclinazione parete [%] | i 0 | Ang. attrito fondazione | φ_f^0 30 | Vi 28 | | | | | | | | | | | | | | | | | | | | | | | | |
| Altezza parete | h2 3,5 | Peso spec. terre [kN/m ³] | γ_t 18 | Zoom | | | | | | | | | | | | | | | | | | | | | | | | |
| Spessore in testa | s2 1 | Peso spec. muro [kN/m ³] | γ_m 25 | | | | | | | | | | | | | | | | | | | | | | | | | |
| Spessore alla base | s3 1 | Grado di sismicità | S 0 | | | | | | | | | | | | | | | | | | | | | | | | | |
| Altezza fondazione | h3 1,2 | N° lati terreno | | | | | | | | | | | | | | | | | | | | | | | | | | |
| Sbalzo fond. contro terra L1 | 1,5 | 1 | Lungh. | Dislivello | | | | | | | | | | | | | | | | | | | | | | | | |
| Larghezza totale fond. | L2 3,5 | Lato 1 20 0 43 | | | | | | | | | | | | | | | | | | | | | | | | | | |
| Calcolo | | | | | | | | | | | | | | | | | | | | | | | | | | | | |
| <table border="1"> <thead> <tr> <th>Parete</th> <th>Fondazione</th> <th></th> </tr> </thead> <tbody> <tr> <td>St 55,47 kN</td> <td>St 90,75 kNm</td> <td>Mr 514,8 kNm</td> </tr> <tr> <td>Sq 61,63 kN</td> <td>Sq 78,83</td> <td>Ms/Mr 2,286</td> </tr> <tr> <td>Ss 0 kN</td> <td>Ss 0</td> <td>c. scorr. 1,954</td> </tr> <tr> <td>Si 0 kN</td> <td>Si 0</td> <td></td> </tr> <tr> <td>M 307,6 kNm</td> <td>M 508,1</td> <td>$\sigma_{t, valle}$ 0,4502 N/mm²</td> </tr> <tr> <td>N 447,5 kN</td> <td>N 668,6</td> <td>$\sigma_{t, monte}$ 0 N/mm²</td> </tr> <tr> <td>V 145,1 kN</td> <td>V 197,6</td> <td>% comp. 84,86</td> </tr> </tbody> </table> | | | | | Parete | Fondazione | | St 55,47 kN | St 90,75 kNm | Mr 514,8 kNm | Sq 61,63 kN | Sq 78,83 | Ms/Mr 2,286 | Ss 0 kN | Ss 0 | c. scorr. 1,954 | Si 0 kN | Si 0 | | M 307,6 kNm | M 508,1 | $\sigma_{t, valle}$ 0,4502 N/mm ² | N 447,5 kN | N 668,6 | $\sigma_{t, monte}$ 0 N/mm ² | V 145,1 kN | V 197,6 | % comp. 84,86 |
| Parete | Fondazione | | | | | | | | | | | | | | | | | | | | | | | | | | | |
| St 55,47 kN | St 90,75 kNm | Mr 514,8 kNm | | | | | | | | | | | | | | | | | | | | | | | | | | |
| Sq 61,63 kN | Sq 78,83 | Ms/Mr 2,286 | | | | | | | | | | | | | | | | | | | | | | | | | | |
| Ss 0 kN | Ss 0 | c. scorr. 1,954 | | | | | | | | | | | | | | | | | | | | | | | | | | |
| Si 0 kN | Si 0 | | | | | | | | | | | | | | | | | | | | | | | | | | | |
| M 307,6 kNm | M 508,1 | $\sigma_{t, valle}$ 0,4502 N/mm ² | | | | | | | | | | | | | | | | | | | | | | | | | | |
| N 447,5 kN | N 668,6 | $\sigma_{t, monte}$ 0 N/mm ² | | | | | | | | | | | | | | | | | | | | | | | | | | |
| V 145,1 kN | V 197,6 | % comp. 84,86 | | | | | | | | | | | | | | | | | | | | | | | | | | |
| <input type="button" value="Visualizza"/> Sbalzi Fondazione M valle 184,9 M monte 97,77 | | | | | | | | | | | | | | | | | | | | | | | | | | | | |

➤ Kontrolli ne permbyse

Nga rezultatet e nxjerra nga programmi shihet :

Fondazione

| |
|------------------------|
| Mr 514,8 kNm |
| Ms/Mr 2,286 |
| c. scorr. 1,954 |

$$M_{permbyses} = 514,8 \text{ kN} \cdot \text{m}$$

$$M_{mbajtes} = 1173,7 \text{ kN} \cdot \text{m}$$

Verifikimi rezulton pozitiv , pasi koefic i sig > 1,5 .

Kontrolli ne rreshqitje

Sic shihet dhe nga resultatet koeficienti i sigurise ne rreshqitje C.scorr =1,954 > 1,3

Verifikimi rezulton pozitiv .

Ne vijim jane paraqitur llogaritjet e armatures per seksione cdo 50cm ne paret ashtu dhe ne themel.

| | | | | | |
|--|---------|--------|-----------------------|-----------------------|-------------------|
| Distanza fra le sezioni | 0,5 | m | s.adm | 255 | N/mm ² |
| Coprifero | 3 | cm | Es/Ec | 15 | |
| <input type="button" value="Ricalcola"/> | | | | | |
| PARETE (d=distanza sezione da base paraghiaia) | | | | | |
| d [m] | M [kNm] | N [kN] | V [kN] | As [cm ²] | sig c [MPa] |
| 3,5 | 307,6 | 447,5 | 145,1 | 5,15 | 5,14 |
| 3 | 240,0 | 435,0 | 125,8 | 2,31 | 4,70 |
| 2,5 | 181,6 | 422,5 | 108,0 | 0,00 | 4,01 |
| 2 | 131,7 | 410,0 | 91,65 | 0,00 | 3,53 |
| 1,5 | 89,68 | 397,5 | 76,84 | 0,00 | 0,97 |
| 1 | 54,65 | 385,0 | 63,52 | 0,00 | 0,71 |
| 0,5 | 25,91 | 372,5 | 51,70 | 0,00 | 0,53 |
| PARAGHIAIA (d=distanza sezione da sommità) | | | | | |
| d [m] | M [kNm] | N [kN] | V [kN] | As [cm ²] | sig c [MPa] |
| 0,8 | 5,099 | 8,000 | 13,39 | 0,39 | 1,33 |
| 0,3 | 0,6720 | 3,000 | 4,570 | 0,01 | 0,55 |
| SUOLA A VALLE (d=distanza sezione da filo parete. As positiva per armatura inferiore) | | | | | |
| d [m] | M [kNm] | V [kN] | As [cm ²] | sig c [MPa] | tau c [MPa] |
| 0 | 184,9 | 344,4 | 6,46 | 2,33 | 0,33 |
| 0,5 | 49,37 | 191,2 | 1,69 | 1,16 | 0,18 |

Grupi i Projektimit

**AUTORITETI RRUGOR SHQIPTAR
DREJTORIA RAJONALE GJIROKASTER**

Projektoi: Ing. Aristotel Noni

Miratoi: Andi Shkurta